



第八章 The Geometry of Vector Space

§ 8.1 Affine Combinations

仿射组合

衡 益

2020 年 12 月 1 日, 中山大学东校区



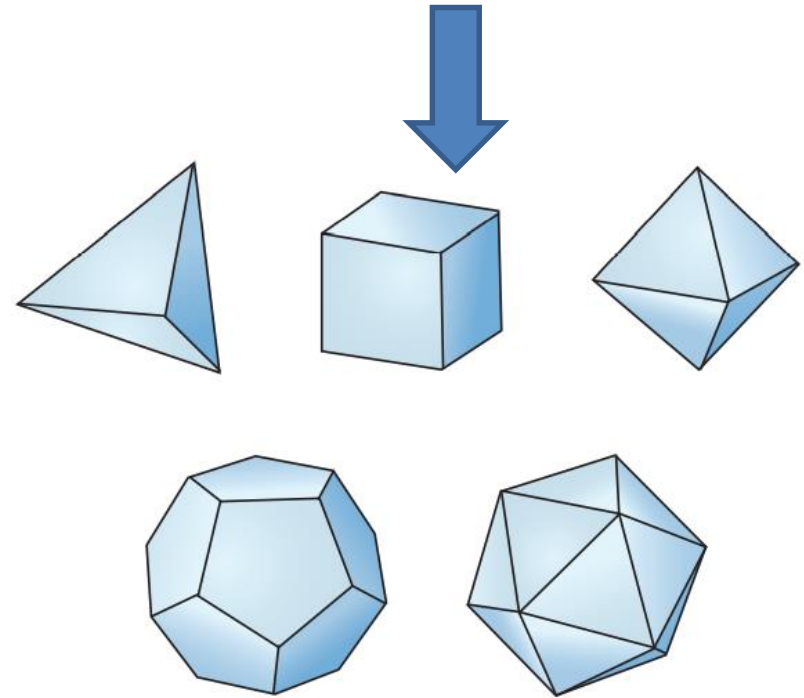
引言

引言

公元前387年，希腊哲学家柏拉图在雅典建立了一所学院，也被称为世界上第一所大学。虽然课程包括天文学、生物学、政治理论和哲学，但他最感兴趣的科目是几何。他学院的门上刻着这样的字：“**没有几何学知识的人不得进入我的门。**”希腊人对诸如正立体这样的几何图案印象深刻。如果多面体的面是全等的正多边形，并且顶点上的所有角都相等，则多面体称为正多面体。

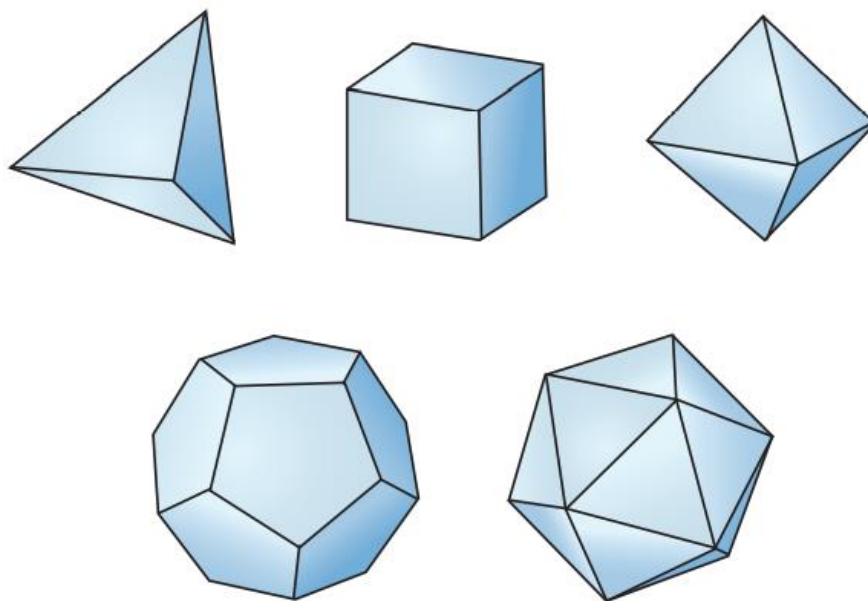
早在柏拉图之前100年，毕达哥拉斯就知道至少三种正多面体：四面体（4个三角形面）、正方体（6个正方形面）和八面体（8个三角形面）。这些形状作为普通矿物的晶体自然出现。**只有五个**这样的正多面体，剩下的两个是十二面体（12个五边形面）和二十面体（20个三角形面）。几个世纪以来，很难想象三维以上的几何物体是什么样的，但是现在数学家们经常在四维、五维甚至上百维的矢量空间中研究物体。在更高的维度中，我们不一定清楚这些物体的几何特性。

“柏拉图固体” Platonic solids



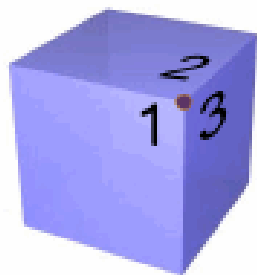
引言

柏拉图固体——为什么
只有五个？

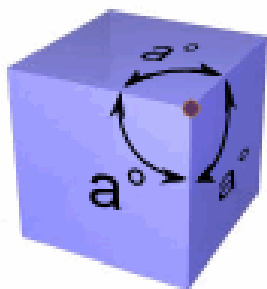


引言

最简单的原因：顶点的角



在一个多面体里：至少有3个面（或更多面）
在每个顶点连接



在顶点的内角的和一定是小于 360° （如果
等于 360° ，顶点就变成平面了）。

引言

最简单的原因：顶点的角

我们也知道柏拉图固体所有的的面是相同的正多边形：



正三角形的内角是 60° ，所以顶点可以有：

- 3个三角形 ($3 \times 60^\circ = 180^\circ$)
- 4个三角形 ($4 \times 60^\circ = 240^\circ$)
- 或 5个三角形 ($5 \times 60^\circ = 300^\circ$)



正五边形的内角是 108° ，所以只有：

- 3个五边形 ($3 \times 108^\circ = 324^\circ$)



正方形的内角是 90° ，所以只可以有：

- 3个正方形 ($3 \times 90^\circ = 270^\circ$)




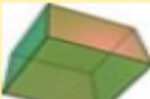



正六边形的内角是 120° ，而 $3 \times 120^\circ = 360^\circ$ 。这个不行，因为如果顶点上的角加起来是 360° ，就会形成一个平面，不再是顶点了。

所以不能继续下去了。

引言

最简单的原因：顶点的角

在每个顶点有：	在顶点的角 (小于 360°)	固体	
3个三角形	180°	四面体	
4个三角形	240°	八面体	
5个三角形	300°	二十面体	
3个正方形	270°	立方体	
3个五边形	324°	十二面体	

任何其他组合在顶点都会有等于或大于 360° 的角，这是不可能的！

例子：4个正五边形 ($4 \times 108^\circ = 432^\circ$)、3个正六边形 ($3 \times 120^\circ = 360^\circ$) 等都不可能



引言

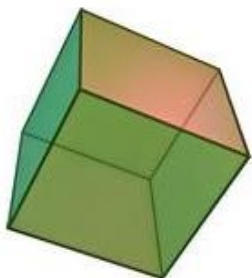
另一个理由：拓扑学

简而言之：不可能有多于 5 个柏拉图固体，因为任何其他组合都违背关于顶点与面的**几何定理**。

欧拉定理

在任何凸多面体（包括柏拉图固体在内）中，面个数加顶点个数（角）减棱个数永远等于 2，这可以写成方程：

$$F + V - E = 2$$



立方体有 6 个面、8 个顶点、12 条棱，所以：
 $6 + 8 - 12 = 2$

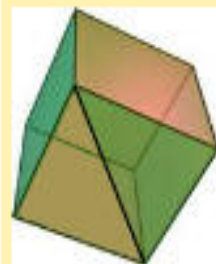
引言

另一个理由：拓扑学

要深入了解欧拉公式，想象在立方体上加一条棱（例如在一个面上的对角线）。

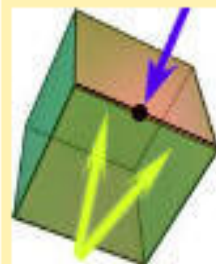
多了一条棱和一个面：

$$7 + 8 - 13 = 2$$



同样，如果加一个顶点（例如在一条棱的中点），
便会多了一条棱。

$$6 + 9 - 13 = 2。$$



"无论如何，答案还是 2"



引言

将多面体展开

想象一个柏拉图固体：它的面是什么形状？在每个顶点有几个面相接在一起？

面可以是三角形（三条边）、正方形（四条边）等等。



以 " s " 为每个面的边的个数。

在每个顶点有几个面？在立方体上，有 3 个面在每个顶点相接。在八面体上，每个顶点有 4 个。



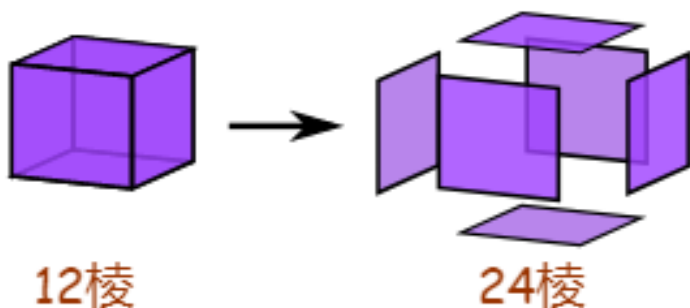
以 " m " 为在每个顶点相接的面的个数。

s 和 m 决定了多面体是什么图形

引言

将多面体展开

现在我们把多面体的每一面剪出来。每个面是一个平面图形，边的个数是棱的双倍（因为我们把多面体的每条边一分为二）



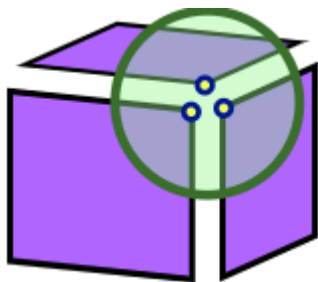
例子：立方体剪开后是六个正方形
每个正方形有 4 条边，总共有 24 条边（立方体有 12 条棱）

所以展开后边个数是立方体的棱个数 “E” 的 2 倍，但这也是所有剪出来的图形的边的的总数，就是 s （每面的边个数）乘以 F （面个数）
这可以写成方程：

$$sF = 2E$$

引言

将多面体展开



同样，把多面体展开时，一个顶点被剪开成**几个平面的角**。以立方体为例，一个顶点被剪开成三个角，所以展开后角的个数是立方体顶点个数的三倍。

- 展开后，剪出来的平面的角的总数是：在原来的多面体上每一个顶点相接的面的个数 m 乘以多面体的顶点个数 V
- 展开后平面的边的总数是：原来的多面体的棱个数的两倍 = $2E$

展开后的平面图形是相同的多边形，而多边形的角个数和边个数是相等的（正方形有 4 个角和 4 条边、五边形有 5 个角和 5 条边等等）这可以写成方程：

$$mV = 2E$$



引言

我们有所有需要的方程了，把它们写在一起，并重排：

$$sF = 2E, \text{ 所以 } F = 2E/s$$

$$mV = 2E, \text{ 所以 } V = 2E/m$$

代入 "F+V-E=2":

$$F + V - E = 2$$

$$2E/s + 2E/m - E = 2$$

再做一些重排.....全部除以 "2E":

$$1/s + 1/m - 1/2 = 1/E$$

"E" 是棱的个数，不能小于零，所以 "1/E" 也不能小于零：

$$1/s + 1/m - 1/2 > 0$$



引言

就是说：

- $1/s + 1/m > 1/2$

我们现在只需要用不同的：

- "s" (每面的边个数, 不能小于3) ,
- "m" (在每个顶点相接的面的个数, 不能小于 3)

来试试！

s	m	$1/s+1/m$	> 0.5?
3	3	0.666.....	✓
3	4	0.583.....	✓
4	3	0.583.....	✓
4	4	0.5	✗
5	3	0.533.....	✓
3	5	0.533.....	✓

s	m	$1/s+1/m$	> 0.5?
5	4	0.45	✗
4	5	0.45	✗
5	5	0.4	✗
等 等.....	✗

引言

例子: $s=5$, $m=5$

$1/s + 1/m - 1/2 = 1/E$ 就是

→ $1/5 + 1/5 - 1/2 = 1/E$

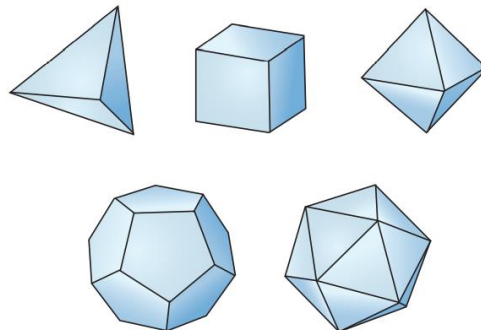
→ $-0.1 = 1/E$

E (棱的个数) = -10, 不可能!

结果: 只有 5 答案个符合上面的不等式! 其他全是不可能的。



柏拉图固体只有5个!

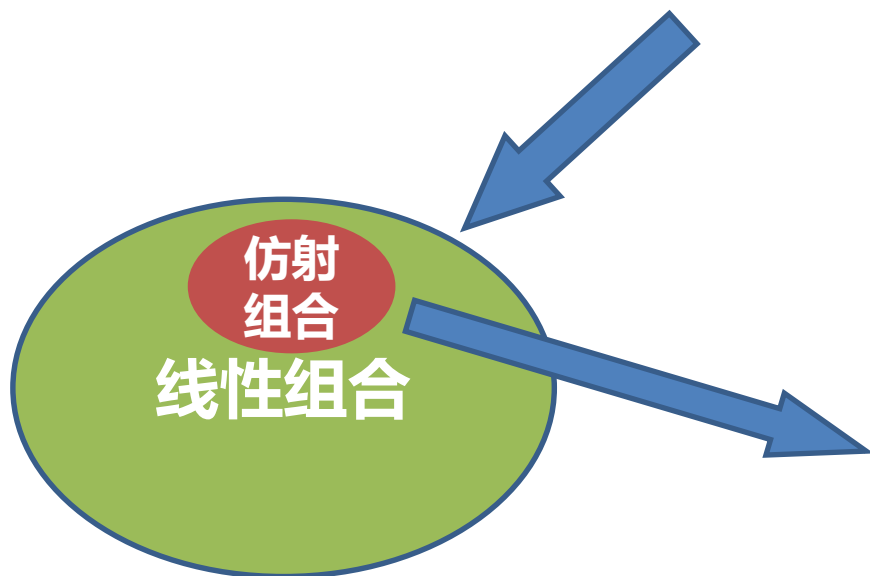




仿射组合

8.1 仿射组合

什么是“仿射组合”？



给定 \mathbb{R}^n 中的向量 $\mathbf{v}_1 \cdots \mathbf{v}_p$ 和标量 $c_1 \cdots c_p$
 $\mathbf{v}_1 \cdots \mathbf{v}_p$ 的一个仿射组合是：

$$c_1 \mathbf{v}_1 + \cdots + c_p \mathbf{v}_p$$

满足 $c_1 + \cdots + c_p = 1$

定义

集合 S 中点的所有仿射组合的集合称为 S 的仿射包（或仿射生成集），记为 $\text{aff}S$.

8.1 仿射组合

一个点的仿射包

$$\{c_1 \mathbf{v}_1\}, c_1 = 1$$

两个不同点的仿射包

$$\{c_1 \mathbf{v}_1 + c_2 \mathbf{v}_2\}, c_1 + c_2 = 1$$

$$\downarrow c_2 = t, c_1 = (1 - t)$$

$$(1 - t)\mathbf{v}_1 + t\mathbf{v}_2, t \in \mathbb{R}$$

$$\downarrow \mathbf{v}_2 = \mathbf{p}, (\mathbf{v}_2 - \mathbf{v}_1) = \mathbf{u}$$

$$\mathbf{y} = \mathbf{v}_1 + t(\mathbf{v}_2 - \mathbf{v}_1) = \mathbf{p} + t\mathbf{u}, t \in \mathbb{R}$$

仿射组合的集合意义

注:

Figure2 中点 \mathbf{y} 是 \mathbf{v}_1 和 \mathbf{v}_1 的一个仿射组合, 而点 $\mathbf{y} - \mathbf{v}_1$ 等于 $t(\mathbf{v}_2 - \mathbf{v}_1)$ 是 $\mathbf{v}_2 - \mathbf{v}_1$ 的一个线性组合 (倍乘), \mathbf{y} 和 $\mathbf{y} - \mathbf{v}_1$ 的这种关系对点的任何仿射组合均成立。

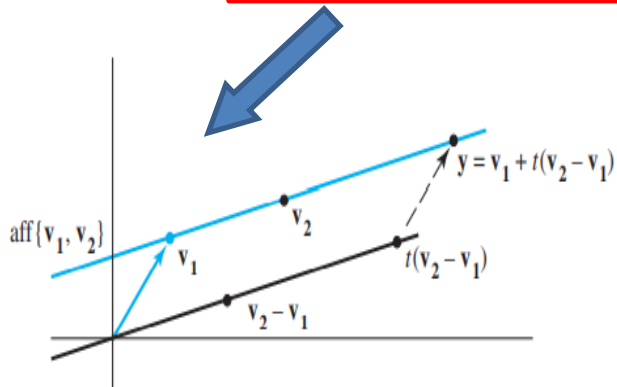


FIGURE 2

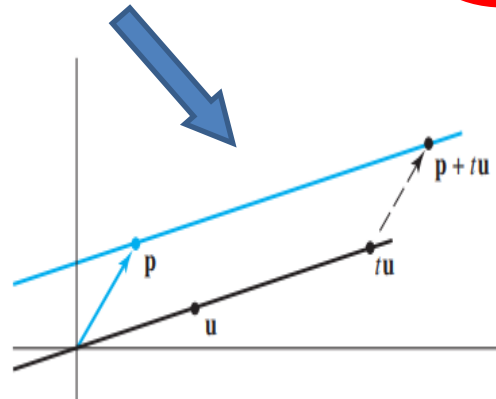


FIGURE 1



8.1 仿射组合

定理1 \mathbb{R}^n 中的一个点 y 是 \mathbb{R}^n 中 $v_1 \cdots v_p$ 的一个仿射组合, 当且仅当 $y - v_1$ 是平移点 $v_2 - v_1, \dots, v_p - v_1$ 的线性组合。

证 如果 $y - v_1$ 是 $v_2 - v_1, \dots, v_p - v_1$ 的一个线性组合, 存在权值 c_2, \dots, c_p 使得

$$y - v_1 = c_2(v_2 - v_1) + \cdots + c_p(v_p - v_1) \quad (2)$$

那么

$$y = (1 - c_2 - \cdots - c_p)v_1 + c_2v_2 + \cdots + c_pv_p \quad (3)$$

并且这个线性组合中的权值之和是 1. 因此, y 是 v_1, \dots, v_p 的一个仿射组合. 相反, 假定

$$y = c_1v_1 + c_2v_2 + \cdots + c_pv_p \quad (4)$$

其中 $c_1 + \cdots + c_p = 1$. 由于 $c_1 = 1 - c_2 - \cdots - c_p$, 因此方程 (4) 可写成 (3) 的形式, 并可导出 (2), 这就证明了 $y - v_1$ 是 $v_2 - v_1, \dots, v_p - v_1$ 的一个线性组合. ■



8.1 仿射组合

例1

$$\text{令 } \mathbf{v}_1 = \begin{bmatrix} 1 \\ 2 \end{bmatrix}, \mathbf{v}_2 = \begin{bmatrix} 2 \\ 5 \end{bmatrix}, \mathbf{v}_3 = \begin{bmatrix} 1 \\ 3 \end{bmatrix}, \mathbf{v}_4 = \begin{bmatrix} -2 \\ 2 \end{bmatrix}, \mathbf{y} = \begin{bmatrix} 4 \\ 1 \end{bmatrix}$$

如果可能, 把 \mathbf{y} 写成 $\mathbf{v}_1, \mathbf{v}_2, \mathbf{v}_3, \mathbf{v}_4$ 的仿射组合。

解

计算平移点

$$\mathbf{v}_2 - \mathbf{v}_1 = \begin{bmatrix} 1 \\ 3 \end{bmatrix}, \mathbf{v}_3 - \mathbf{v}_1 = \begin{bmatrix} 0 \\ 1 \end{bmatrix}, \mathbf{v}_4 - \mathbf{v}_1 = \begin{bmatrix} -3 \\ 0 \end{bmatrix}, \mathbf{y} - \mathbf{v}_1 = \begin{bmatrix} 3 \\ -1 \end{bmatrix}$$

为求出标量 c_2, c_3, c_4 , 使得

$$c_2(\mathbf{v}_2 - \mathbf{v}_1) + c_3(\mathbf{v}_3 - \mathbf{v}_1) + c_4(\mathbf{v}_4 - \mathbf{v}_1) = \mathbf{y} - \mathbf{v}_1 \quad (5)$$

行化简增广矩阵得

$$\begin{bmatrix} 1 & 0 & -3 & 3 \\ 3 & 1 & 0 & -1 \end{bmatrix} \sim \begin{bmatrix} 1 & 0 & -3 & 3 \\ 0 & 1 & 9 & -10 \end{bmatrix}$$

这表明 (5) 是相容的, 并且通解是 $c_2 = 3c_4 + 3, c_3 = -9c_4 - 10$, c_4 是自由变量. 当 $c_4 = 0$ 时,

$$\mathbf{y} - \mathbf{v}_1 = 3(\mathbf{v}_2 - \mathbf{v}_1) - 10(\mathbf{v}_3 - \mathbf{v}_1) + 0(\mathbf{v}_4 - \mathbf{v}_1)$$

即

$$\mathbf{y} = 8\mathbf{v}_1 + 3\mathbf{v}_2 - 10\mathbf{v}_3$$

如另选 $c_4 = 1$, 则 $c_2 = 6$ 和 $c_3 = -19$, 因此,



8.1 仿射组合

例1

$$\text{令 } \mathbf{v}_1 = \begin{bmatrix} 1 \\ 2 \end{bmatrix}, \mathbf{v}_2 = \begin{bmatrix} 2 \\ 5 \end{bmatrix}, \mathbf{v}_3 = \begin{bmatrix} 1 \\ 3 \end{bmatrix}, \mathbf{v}_4 = \begin{bmatrix} -2 \\ 2 \end{bmatrix}, \mathbf{y} = \begin{bmatrix} 4 \\ 1 \end{bmatrix}$$

如果可能，把 \mathbf{y} 写成 $\mathbf{v}_1, \mathbf{v}_2, \mathbf{v}_3, \mathbf{v}_4$ 的仿射组合。

解

$$\mathbf{y} - \mathbf{v}_1 = 6(\mathbf{v}_2 - \mathbf{v}_1) - 19(\mathbf{v}_3 - \mathbf{v}_1) + 1(\mathbf{v}_4 - \mathbf{v}_1)$$

即

$$\mathbf{y} = 13\mathbf{v}_1 + 6\mathbf{v}_2 - 19\mathbf{v}_3 + \mathbf{v}_4$$

注：

虽然例1中的步骤对 \mathbb{R}^n 中任意点 $\mathbf{v}_1, \mathbf{v}_2, \dots, \mathbf{v}_p$ 都适用，但如果选择的点 \mathbf{v}_i 是 \mathbb{R}^n 中的一个基就更容易一些了。例如： $B = \{\mathbf{b}_1, \dots, \mathbf{b}_n\}$ 是一个基，则 \mathbb{R}^n 中任意 \mathbf{y} 是 $\mathbf{b}_1, \dots, \mathbf{b}_n$ 的线性组合，当且仅当权值之和为1时，是 \mathbf{b}_i 的仿射组合。



8.1 仿射组合

例2

$$\text{令 } \mathbf{b}_1 = \begin{bmatrix} 4 \\ 0 \\ 3 \end{bmatrix}, \mathbf{b}_2 = \begin{bmatrix} 0 \\ 4 \\ 2 \end{bmatrix}, \mathbf{b}_3 = \begin{bmatrix} 5 \\ 2 \\ 4 \end{bmatrix}, \mathbf{p}_1 = \begin{bmatrix} 2 \\ 0 \\ 0 \end{bmatrix}, \mathbf{p}_2 = \begin{bmatrix} 1 \\ 2 \\ 2 \end{bmatrix}$$

集合 $B = \{\mathbf{b}_1, \mathbf{b}_2, \mathbf{b}_3\}$ 是 \mathbb{R}^3 的一个基。判断点 \mathbf{p}_1 和 \mathbf{p}_2 是否是 B 中的仿射组合。

解

求 \mathbf{p}_1 和 \mathbf{p}_2 的 B 坐标。这两个计算可以通过对矩阵 $[\mathbf{b}_1 \ \mathbf{b}_2 \ \mathbf{b}_3 \ \mathbf{p}_1 \ \mathbf{p}_2]$ 进行行化简实现，带有两个增广列：

$$\begin{bmatrix} 4 & 0 & 5 & 2 & 1 \\ 0 & 4 & 2 & 0 & 2 \\ 3 & 2 & 4 & 0 & 2 \end{bmatrix} \sim \begin{bmatrix} 1 & 0 & 0 & -2 & \frac{2}{3} \\ 0 & 1 & 0 & -1 & \frac{2}{3} \\ 0 & 0 & 1 & 2 & -\frac{1}{3} \end{bmatrix}$$

取第 4 列得到 \mathbf{p}_1 ，取第 5 列得到 \mathbf{p}_2 ：

$$\mathbf{p}_1 = -2\mathbf{b}_1 - \mathbf{b}_2 + 2\mathbf{b}_3, \quad \mathbf{p}_2 = \frac{2}{3}\mathbf{b}_1 + \frac{2}{3}\mathbf{b}_2 - \frac{1}{3}\mathbf{b}_3$$

\mathbf{p}_1 中线性组合的权值之和是 -1，不是 1。因此， \mathbf{p}_1 不是各 \mathbf{b}_i 的一个仿射组合。然而，由于 \mathbf{p}_2 中权值之和是 1，所以 \mathbf{p}_2 是各 \mathbf{b}_i 的一个仿射组合。 ■



8.1 仿射组合

定义

如果对任意实数 t ，由 $p, q \in S$ 得出 $(1-t)p + tq \in S$ ，则集合 S 是仿射的。



几何学上

如果两个点在集合中，则过这些点的直线在集合中
 \Rightarrow 集合是仿射的

代数学上

若一个集合是仿射的，则需要 S 中两点的每个仿射组合都属于 S 。



8.1 仿射组合

定理2 当且仅当 S 中点的每一个仿射组合都属于 S ，集合 S 是仿射的，即当且仅当 $S = \text{aff} S$ ， S 是仿射的。

证

假定 S 是仿射的，并对仿射组合中 S 的点的数目 m 使用归纳法。当 m 是1或2时，由仿射集合的定义， S 中 m 个点的仿射组合属于 S 。现在，假设 S 中 k 个点或少于 k 个点的每一个仿射组合属于 S ，考虑 $k+1$ 个点的组合。对 $i=1, \dots, k+1$ ，取 S 中 \mathbf{v}_i ，并令 $\mathbf{y} = c_1 \mathbf{v}_1 + \dots + c_k \mathbf{v}_k + c_{k+1} \mathbf{v}_{k+1}$ ，其中 $c_1 + \dots + c_{k+1} = 1$ 。由于所有 c_i 的和是1，因此它们中至少有一个不等于1。如果需要，对 \mathbf{v}_i 和 c_i 重新标记，我们可以假定 $c_{k+1} \neq 1$ 。令 $t = c_1 + \dots + c_k$ ，则 $t = 1 - c_{k+1} \neq 0$ ，并且

$$\mathbf{y} = (1 - c_{k+1}) \left(\frac{c_1}{t} \mathbf{v}_1 + \dots + \frac{c_k}{t} \mathbf{v}_k \right) + c_{k+1} \mathbf{v}_{k+1} \quad (6)$$

由归纳假设，由于系数和是1，故点 $\mathbf{z} = (c_1/t)\mathbf{v}_1 + \dots + (c_k/t)\mathbf{v}_k$ 属于 S 。从而(6)显示了 \mathbf{y} 作为 S 中两点的一个仿射组合是属于 S 的。由数学归纳法，这些点的每一个仿射组合属于 S ，即 $\text{aff } S \subset S$ 。但反过来， $S \subset \text{aff } S$ 总是成立的。因此，当 S 为仿射时， $S = \text{aff } S$ 。相反，如果 $S = \text{aff } S$ ，则 S 中两点（或更多点）的仿射组合属于 S ，从而 S 是仿射的。 ■



8.1 仿射组合

定义 \mathbb{R}^n 中一个集合 S 被向量 \mathbf{p} 平移后得到集合 $S + \mathbf{p} = \{\mathbf{s} + \mathbf{p} : \mathbf{s} \in S\}$.
 \mathbb{R}^n 中一个平面是 \mathbb{R}^n 子空间的一个平移。如果一个平面是另外一个平面的平移，则两个平面是平行的，一个平面的维数是对应的平行子空间的维数。一个集合 S 的维数记作 $\dim S$ ，是包含 S 的最小平面的维数。 \mathbb{R}^n 中一条直线是维数为1的平面， \mathbb{R}^n 中的一个超平面是维数为 $n-1$ 的平面。

强调了仿射集合与
 \mathbb{R}^n 子空间的关系

可以穿过原点，也
可以不穿过原点

\mathbb{R}^3 的真子空间

原点

穿过原点的所有
直线集合

穿过原点的所有
平面集合

零维

二维

三维



8.1 仿射组合

定理3 当且仅当 S 是一个平面时，一个非空集合 S 是仿射的。

证

假定 S 是仿射的，令 p 是 S 中任意固定点， $W = S + (-p)$ ，从而 $S = W + p$ 。为了证明 S 是一个平面，只需证明 W 是 \mathbb{R}^n 的一个子空间。由于 p 在 S 中，因此零向量在 W 中。为了证明 W 对向量的加法和标量乘法运算封闭，只需证明如果 u_1 和 u_2 是 W 中的元素，那么对每一个实数 t ， $u_1 + tu_2$ 属于 W 。由于 u_1 和 u_2 属于 W ，因此存在 S 中的 s_1 和 s_2 ，使得 $u_1 = s_1 - p$ 和 $u_2 = s_2 - p$ 。因此，对每一个实数 t ，

$$u_1 + tu_2 = (s_1 - p) + t(s_2 - p) = (1-t)s_1 + t(s_1 + s_2 - p) - p$$

令 $y = s_1 + s_2 - p$ ，则 y 是 S 中点的一个仿射组合。由于 S 是仿射的，因此 y 在 S 中（由定理2）。但 $(1-t)s_1 + ty$ 也在 S 中，所以 $u_1 + tu_2$ 在 $-p + S = W$ 中。这就表明 W 是 \mathbb{R}^n 的一个子空间。从而由 $S = W + p$ ， S 是一个平面。

相反，假定 S 是一个平面，即对某些 $p \in \mathbb{R}^n$ 和子空间 W ，有 $S = W + p$ 。为了证明 S 是仿射的，只需证明对 S 中每一对 s_1 和 s_2 ，穿过 s_1 和 s_2 的直线属于 S 。由 W 的定义，存在 W 中 u_1 和 u_2 使得 $s_1 = u_1 + p$ 和 $s_2 = u_2 + p$ 。所以，对每一个实数 t ，

$$(1-t)s_1 + ts_2 = (1-t)(u_1 + p) + t(u_2 + p) = (1-t)u_1 + tu_2 + p$$

由于 W 是一个子空间，因此 $(1-t)u_1 + tu_2 \in W$ ，从而 $(1-t)s_1 + ts_2 \in W + p = S$ 。因此， S 是仿射的。 ■

8.1 仿射组合

定理3 当且仅当 S 是一个平面时，一个非空集合 S 是仿射的。

由一个集合中的点的所有仿射组合构成的点集是平面。比如Figure3显示了例2中研究的点。虽然 b_1, b_2 和 b_3 的线性组合的集合是 \mathbb{R}^3 ，但所有仿射组合的集合只是穿过 b_1, b_2 和 b_3 的平面。

给出了一个集合的仿射包的几何解释

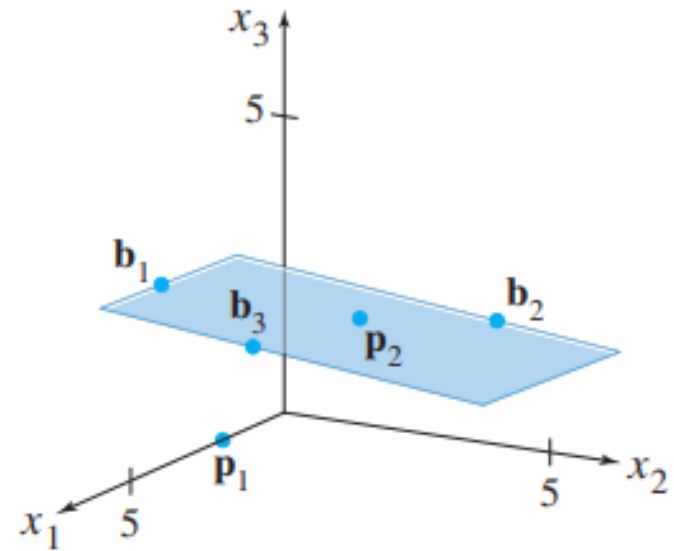


FIGURE 3

注： p_2 在穿过 b_1, b_2 和 b_3 的平面中，而 p_1 不在。



8.1 仿射组合

例3 假设一个方程 $A\mathbf{x} = \mathbf{b}$ 的解都是 $\mathbf{x} = x_3\mathbf{u} + \mathbf{p}$ 的形式，其中

$$\mathbf{u} = \begin{bmatrix} 2 \\ -3 \\ 1 \end{bmatrix}, \quad \mathbf{p}_2 = \begin{bmatrix} 4 \\ 0 \\ -3 \end{bmatrix},$$

回忆1.5节，这个集合平行于 $A\mathbf{x} = \mathbf{0}$ 的解集，该解集有形如 $x_3\mathbf{u}$ 的点组成。求点 \mathbf{v}_1 和 \mathbf{v}_2 使得 $A\mathbf{x} = \mathbf{b}$ 的解集是 $\text{aff}\{\mathbf{v}_1, \mathbf{v}_2\}$ 。

解

解集是沿着 \mathbf{u} 的方向穿过 \mathbf{p} 的直线，如图 8-2 所示。由于 $\text{aff}\{\mathbf{v}_1, \mathbf{v}_2\}$ 是穿过 \mathbf{v}_1 和 \mathbf{v}_2 的直线，因此确定直线 $\mathbf{x} = x_3\mathbf{u} + \mathbf{p}$ 上的两个点。当 $x_3 = 0$ 和 $x_3 = 1$ 时，可得两种简单的情况。即选择 $\mathbf{v}_1 = \mathbf{p}$ 和 $\mathbf{v}_2 = \mathbf{u} + \mathbf{p}$ ，从而

$$\mathbf{v}_2 = \mathbf{u} + \mathbf{p} = \begin{bmatrix} 2 \\ -3 \\ 1 \end{bmatrix} + \begin{bmatrix} 4 \\ 0 \\ -3 \end{bmatrix} = \begin{bmatrix} 6 \\ -3 \\ -2 \end{bmatrix}$$

在这种情况下，解集被描述为所有形如 $\mathbf{x} = (1-x_3)\begin{bmatrix} 4 \\ 0 \\ -3 \end{bmatrix} + x_3\begin{bmatrix} 6 \\ -3 \\ -2 \end{bmatrix}$ 的仿射组合的集合。



8.1 仿射组合

定义

对 \mathbb{R}^n 中的 \mathbf{v} , \mathbf{v} 的标准齐次形式是 \mathbb{R}^{n+1} 中的点 $\tilde{\mathbf{v}} = \begin{bmatrix} \mathbf{v} \\ 1 \end{bmatrix}$.

定理4

\mathbb{R}^n 中的一个点 \mathbf{y} 是 \mathbb{R}^n 中 $\mathbf{v}_1, \dots, \mathbf{v}_p$ 的一个仿射组合当且仅当 \mathbf{y} 的齐次形式在 $\text{Span}\{\tilde{\mathbf{v}}_1, \dots, \tilde{\mathbf{v}}_p\}$ 中, 即 $\mathbf{y} = c_1\mathbf{v}_1 + \dots + c_p\mathbf{v}_p$ 且 $c_1 + \dots + c_p = 1$, 当且仅当 $\tilde{\mathbf{y}} = c_1\tilde{\mathbf{v}}_1 + \dots + c_p\tilde{\mathbf{v}}_p$

证

点 \mathbf{y} 在 $\text{aff}\{\mathbf{v}_1, \dots, \mathbf{v}_p\}$ 中当且仅当存在权值 c_1, \dots, c_p , 使得

$$\begin{bmatrix} \mathbf{y} \\ 1 \end{bmatrix} = c_1 \begin{bmatrix} \mathbf{v}_1 \\ 1 \end{bmatrix} + c_2 \begin{bmatrix} \mathbf{v}_2 \\ 1 \end{bmatrix} + \dots + c_p \begin{bmatrix} \mathbf{v}_p \\ 1 \end{bmatrix}$$

这种情况发生当且仅当 $\tilde{\mathbf{y}}$ 在 $\text{Span}\{\tilde{\mathbf{v}}_1, \tilde{\mathbf{v}}_2, \dots, \tilde{\mathbf{v}}_p\}$ 中. 定理得到了证明. ■

8.1 仿射组合

例4

令 $\mathbf{v}_1 = \begin{bmatrix} 3 \\ 1 \\ 1 \end{bmatrix}$, $\mathbf{v}_2 = \begin{bmatrix} 1 \\ 2 \\ 2 \end{bmatrix}$, $\mathbf{v}_3 = \begin{bmatrix} 1 \\ 7 \\ 1 \end{bmatrix}$, $\mathbf{p} = \begin{bmatrix} 4 \\ 3 \\ 0 \end{bmatrix}$, 如果可能,

用定理4把 \mathbf{p} 写成 $\mathbf{v}_1, \mathbf{v}_2, \mathbf{v}_3$ 的仿射组合。

解

对下面方程的增广矩阵进行行化简:

$$x_1 \tilde{\mathbf{v}}_1 + x_2 \tilde{\mathbf{v}}_2 + x_3 \tilde{\mathbf{v}}_3 = \tilde{\mathbf{p}}$$

为了简化算法, 把由 1 组成的第四行移到第一行 (等价于做三个行对换), 然后把矩阵化为简化阶梯形:

$$\begin{aligned} \left[\tilde{\mathbf{v}}_1 \quad \tilde{\mathbf{v}}_2 \quad \tilde{\mathbf{v}}_3 \quad \tilde{\mathbf{p}} \right] &\sim \begin{bmatrix} 1 & 1 & 1 & 1 \\ 3 & 1 & 1 & 4 \\ 1 & 2 & 7 & 3 \\ 1 & 2 & 1 & 0 \end{bmatrix} \sim \begin{bmatrix} 1 & 1 & 1 & 1 \\ 0 & -2 & -2 & 1 \\ 0 & 1 & 6 & 2 \\ 0 & 1 & 0 & -1 \end{bmatrix} \\ &\sim \dots \sim \begin{bmatrix} 1 & 0 & 0 & 1.5 \\ 0 & 1 & 0 & -1 \\ 0 & 0 & 1 & 0.5 \\ 0 & 0 & 0 & 0 \end{bmatrix} \end{aligned}$$

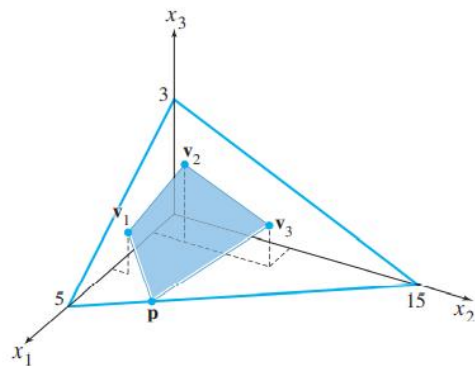


FIGURE 4

由定理 4, $1.5\mathbf{v}_1 - \mathbf{v}_2 + 0.5\mathbf{v}_3 = \mathbf{p}$, 见 FIGURE 4 图中显示了含有 $\mathbf{v}_1, \mathbf{v}_2, \mathbf{v}_3$ 和 \mathbf{p} (以及坐标轴上的点) 的平面.



第八章 The Geometry of Vector Spaces

§ 8.2 Affine independence 仿射无关性

衡益

2022 年 1 月 4 日, 中山大学南校区



定义

定义

线性概念和仿射概念之间的关系



\mathbb{R}^3 中三个向量的集合, $S = \{\mathbf{v}_1, \mathbf{v}_2, \mathbf{v}_3\}$

若 S 线性相关

其中一个向量是其他两个向量的线性组合



当一个向量是其他两个向量的仿射组合时



例: $\mathbf{v}_3 = (1 - t)\mathbf{v}_1 + t\mathbf{v}_2$
 $t \in \mathbb{R}$

$$(1 - t)\mathbf{v}_1 + t\mathbf{v}_2 - \mathbf{v}_3 = 0$$

线性相关

权值之和:

$$(1 - t) + t + (-1) = 0$$

仿射相关

定义

仿射无关

定义 设 $\{\mathbf{v}_1, \dots, \mathbf{v}_p\}$ 是 \mathbb{R}^n 中的一个指标点集(指标点集指的是集合中指标不同的元素可以表示同一点)，如果存在不全为零的实数 c_1, \dots, c_p ，使得

$$c_1 + \dots + c_p = 0, \quad c_1 \mathbf{v}_1 + \dots + c_p \mathbf{v}_p = 0 \quad (1)$$

则称指标点集 $\{\mathbf{v}_1, \dots, \mathbf{v}_p\}$ 是**仿射相关**的，否则，称该集合是**仿射无关**的。



- 仿射相关是附带有一个限制条件的线性相关 \rightarrow 每一个仿射相关集都自动是线性相关的；
- 只有一个点(或者是零向量)的集合 $\{\mathbf{v}_1\}$ 必是仿射无关的。



定理 5

定理5 给定 \mathbb{R}^n 中的一个指标集合 $S = \{\mathbf{v}_1, \dots, \mathbf{v}_p\}$, $p \geq 2$, 下面的叙述是逻辑等价的, 也就是说, 它们同真, 或者同假.

- a. S 是仿射相关的.
- b. S 中有一个点是 S 中其他点的一个仿射组合.
- c. \mathbb{R}^n 中集合 $\{\mathbf{v}_2 - \mathbf{v}_1, \dots, \mathbf{v}_p - \mathbf{v}_1\}$ 是线性相关的.
- d. \mathbb{R}^{n+1} 中集合 $\{\tilde{\mathbf{v}}_1, \dots, \tilde{\mathbf{v}}_p\}$ (齐次形式) 是线性相关的.

在定理5 (c) 中, \mathbf{v}_1 可以 $\mathbf{v}_1, \dots, \mathbf{v}_p$ 中任何其他的点所取代



✓ 检测一个集合是否是仿射相关的, 可以从集合的其他点中减去一个点, 并检验转化后的 $p-1$ 个点的集是否是线性相关的

定理 5

证明

a

• 假设 (a) 为真 $\rightarrow c_1, \dots, c_p$ 满足方程(1)

• (1)中的方程都除以 $c_1 \Rightarrow 1 + c_2 / c_1 + \dots + c_p / c_1 = 0$ 及

$$\mathbf{v}_1 = (-c_2 / c_1) \mathbf{v}_2 + \dots + (-c_p / c_1) \mathbf{v}_p \quad \leftarrow \text{右边系数和为1}$$



定理5 (b) 为真

b

b

• 假设 (b) 为真

• 可以认为 $\mathbf{v}_1 = c_2 \mathbf{v}_2 + \dots + c_p \mathbf{v}_p$ ($c_2 + \dots + c_p = 1$)

• $\Rightarrow (c_2 + \dots + c_p) \mathbf{v}_1 = c_2 \mathbf{v}_2 + \dots + c_p \mathbf{v}_p \Rightarrow c_2 (\mathbf{v}_2 - \mathbf{v}_1) + \dots + c_p (\mathbf{v}_p - \mathbf{v}_1) = 0$

• 因 $c_2 + \dots + c_p = 1 \Rightarrow c_2, \dots, c_p$ 不全为0



定理5 (c) 为真

c

定理 5

证明

c

- 假设 (c) 为真 \Rightarrow 存在不全为0的权值 c_2, \dots, c_p , 使 $c_2(\mathbf{v}_2 - \mathbf{v}_1) + \dots + c_p(\mathbf{v}_p - \mathbf{v}_1) = \mathbf{0}$
- $\Rightarrow (c_2 + \dots + c_p)\mathbf{v}_1 = c_2\mathbf{v}_2 + \dots + c_p\mathbf{v}_p$



- 令 $c_1 = -(c_2 + \dots + c_p) \Rightarrow c_1 + \dots + c_p = 0$, 即定理5 (a) 为真



$$(a) \Leftrightarrow (b) \Leftrightarrow (c)$$

a

d

$$c_1 + \dots + c_p = 0, \quad c_1\mathbf{v}_1 + \dots + c_p\mathbf{v}_p = \mathbf{0}$$



$$c_1 \begin{bmatrix} \mathbf{v}_1 \\ 1 \end{bmatrix} + \dots + c_p \begin{bmatrix} \mathbf{v}_p \\ 1 \end{bmatrix} = \begin{bmatrix} \mathbf{0} \\ 0 \end{bmatrix}$$



$$(d) \Leftrightarrow (a)$$



a

定理 5

例1: 两个不同点 p 和 q 的仿射包是一条直线，如果第三个点 r 在直线上，那么 $\{p, q, r\}$ 是一个仿射相关集，如果一个点 s 不在穿过 p 和 q 的直线上，那么这三点不在同一条直线上，从而 $\{p, q, s\}$ 是仿射无关集，见图1。

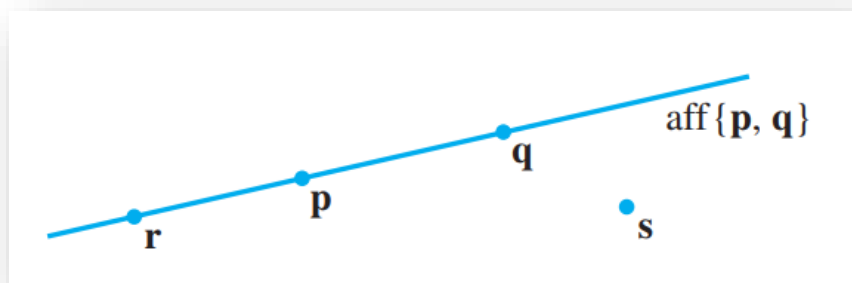


图1 $\{p, q, r\}$ 是仿射相关的

定理 5

例2: 令 $\mathbf{v}_1 = \begin{pmatrix} 1 \\ 3 \\ 7 \end{pmatrix}$, $\mathbf{v}_2 = \begin{pmatrix} 2 \\ 7 \\ 6.5 \end{pmatrix}$, $\mathbf{v}_3 = \begin{pmatrix} 0 \\ 4 \\ 7 \end{pmatrix}$, $S = \{\mathbf{v}_1, \mathbf{v}_2, \mathbf{v}_3\}$, 确定 S 是否是仿射无关的。

解:

• $\mathbf{v}_2 - \mathbf{v}_1 = \begin{pmatrix} 1 \\ 4 \\ -0.5 \end{pmatrix}$, $\mathbf{v}_3 - \mathbf{v}_1 = \begin{pmatrix} -1 \\ 1 \\ 0 \end{pmatrix}$ 不成倍数关系

• \Rightarrow 构成了一个线性无关集 **定理5** \times

S 是仿射无关的

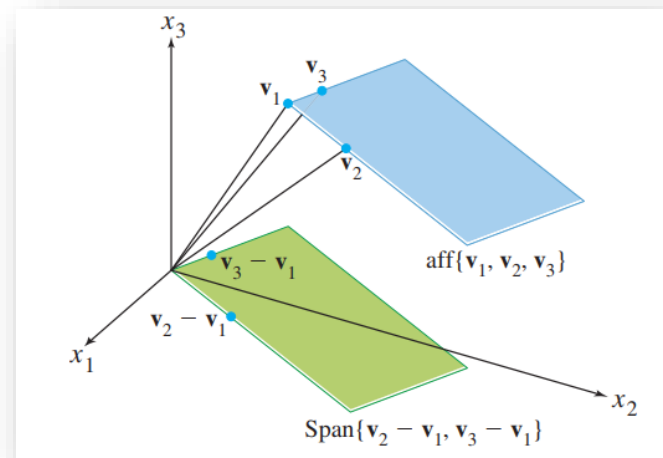


图2 一个仿射无关集 $\{\mathbf{v}_1, \mathbf{v}_2, \mathbf{v}_3\}$



定理 5

例3: 令 $\mathbf{v}_1 = \begin{pmatrix} 1 \\ 3 \\ 7 \end{pmatrix}$, $\mathbf{v}_2 = \begin{pmatrix} 2 \\ 7 \\ 6.5 \end{pmatrix}$, $\mathbf{v}_3 = \begin{pmatrix} 0 \\ 4 \\ 7 \end{pmatrix}$, $\mathbf{v}_4 = \begin{pmatrix} 0 \\ 14 \\ 6 \end{pmatrix}$, $S = \{\mathbf{v}_1, \mathbf{v}_2, \mathbf{v}_3, \mathbf{v}_4\}$,

S 是仿射相关的吗?

解:

• $\mathbf{v}_2 - \mathbf{v}_1 = \begin{pmatrix} 1 \\ 4 \\ -0.5 \end{pmatrix}$, $\mathbf{v}_3 - \mathbf{v}_1 = \begin{pmatrix} -1 \\ 1 \\ 0 \end{pmatrix}$, $\mathbf{v}_4 - \mathbf{v}_1 = \begin{pmatrix} -1 \\ 11 \\ -1 \end{pmatrix}$, 对矩阵进行行化简得

$$\begin{bmatrix} 1 & -1 & -1 \\ 4 & 1 & 11 \\ -0.5 & 0 & -1 \end{bmatrix} \sim \begin{bmatrix} 1 & -1 & -1 \\ 0 & 5 & 15 \\ 0 & -0.5 & -1.5 \end{bmatrix} \sim \begin{bmatrix} 1 & -1 & -1 \\ 0 & 5 & 15 \\ 0 & 0 & 0 \end{bmatrix}$$

• 并不是每一列都是一个主元列 \Rightarrow 这些列线性相关

• $\Rightarrow \mathbf{v}_2 - \mathbf{v}_1, \mathbf{v}_3 - \mathbf{v}_1, \mathbf{v}_4 - \mathbf{v}_1$ 线性相关

定理5 (c)

$\{\mathbf{v}_1, \mathbf{v}_2, \mathbf{v}_3, \mathbf{v}_4\}$ 仿射
相关

定理 5

解析

- 例 3 的计算表明 $\mathbf{v}_4 - \mathbf{v}_1$ 是 $\mathbf{v}_2 - \mathbf{v}_1$ 和 $\mathbf{v}_3 - \mathbf{v}_1$ 的线性组合, 这说明 $\mathbf{v}_4 - \mathbf{v}_1$ 在 $\text{Span}\{\mathbf{v}_2 - \mathbf{v}_1, \mathbf{v}_3 - \mathbf{v}_1\}$ 中
- 由 8.1 节定理 1 $\Rightarrow \mathbf{v}_4$ 在 $\text{aff}\{\mathbf{v}_1, \mathbf{v}_2, \mathbf{v}_3\}$ 中
- 例 3 中矩阵进一步的行化简将表明

$$\mathbf{v}_4 - \mathbf{v}_1 = 2(\mathbf{v}_2 - \mathbf{v}_1) + 3(\mathbf{v}_3 - \mathbf{v}_1)$$

$$\mathbf{v}_4 = -4\mathbf{v}_1 + 2\mathbf{v}_2 + 3\mathbf{v}_3$$

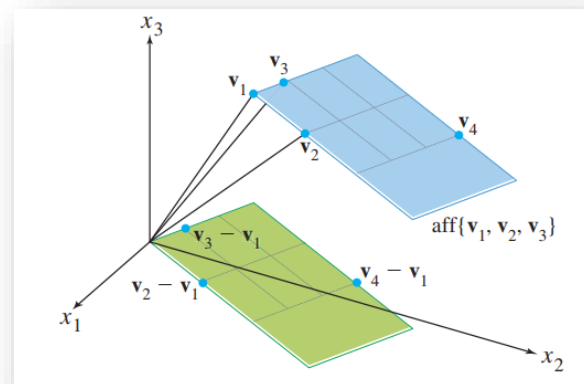


图3 \mathbf{v}_4 在平面 $\text{aff}\{\mathbf{v}_1, \mathbf{v}_2, \mathbf{v}_3\}$ 中

8.1 节定理 1: \mathbb{R}^n 中的一个点 y 是 \mathbb{R}^n 中 $\mathbf{v}_1 \cdots \mathbf{v}_p$ 的一个仿射组合, 当且仅当 $y - \mathbf{v}_1$ 是平移点 $\mathbf{v}_2 - \mathbf{v}_1, \dots, \mathbf{v}_p - \mathbf{v}_1$ 的线性组合。

系数 -4, 2 和 3 称为 \mathbf{v}_4 的仿射或重心坐标



重心坐标



重心坐标

定理6

令 $S = \{\mathbf{v}_1, \dots, \mathbf{v}_k\}$ 是 \mathbb{R}^n 中的一个仿射无关集, 则 $\text{aff} S$ 中每一个 \mathbf{p} 都有唯一的 $\mathbf{v}_1, \dots, \mathbf{v}_k$ 仿射组合表示, 也就是说, 对每一个 \mathbf{p} , 存在唯一的标量集 c_1, \dots, c_k , 使

$$\mathbf{p} = c_1 \mathbf{v}_1 + \dots + c_k \mathbf{v}_k \quad \text{且} \quad c_1 + \dots + c_k = 1 \quad (2)$$

定义

$$\Leftrightarrow \begin{bmatrix} \mathbf{p} \\ 1 \end{bmatrix} = c_1 \begin{bmatrix} \mathbf{v}_1 \\ 1 \end{bmatrix} + \dots + c_k \begin{bmatrix} \mathbf{v}_k \\ 1 \end{bmatrix}$$

对增广矩阵 $\begin{bmatrix} \tilde{\mathbf{v}}_1 & \dots & \tilde{\mathbf{v}}_k & \tilde{\mathbf{p}} \end{bmatrix}$ 做行化简
可得到 \mathbf{p} 的重心坐标

定义

令 $S = \{\mathbf{v}_1, \dots, \mathbf{v}_k\}$ 是一个仿射无关集, 则对 $\text{aff} S$ 中每一个点 \mathbf{p} , \mathbf{p} 的唯一表达式 (2) 中的系数 c_1, \dots, c_p 称为 \mathbf{p} 的 **重心坐标** (或者称为 **仿射坐标**)。



重心坐标

例4: 令 $\mathbf{a} = \begin{pmatrix} 1 \\ 7 \end{pmatrix}$, $\mathbf{b} = \begin{pmatrix} 3 \\ 0 \end{pmatrix}$, $\mathbf{c} = \begin{pmatrix} 9 \\ 3 \end{pmatrix}$, $\mathbf{p} = \begin{pmatrix} 5 \\ 3 \end{pmatrix}$, 求由一个仿射无关集 $\{\mathbf{a}, \mathbf{b}, \mathbf{c}\}$ 确定的 \mathbf{p} 的重心坐标。

解:

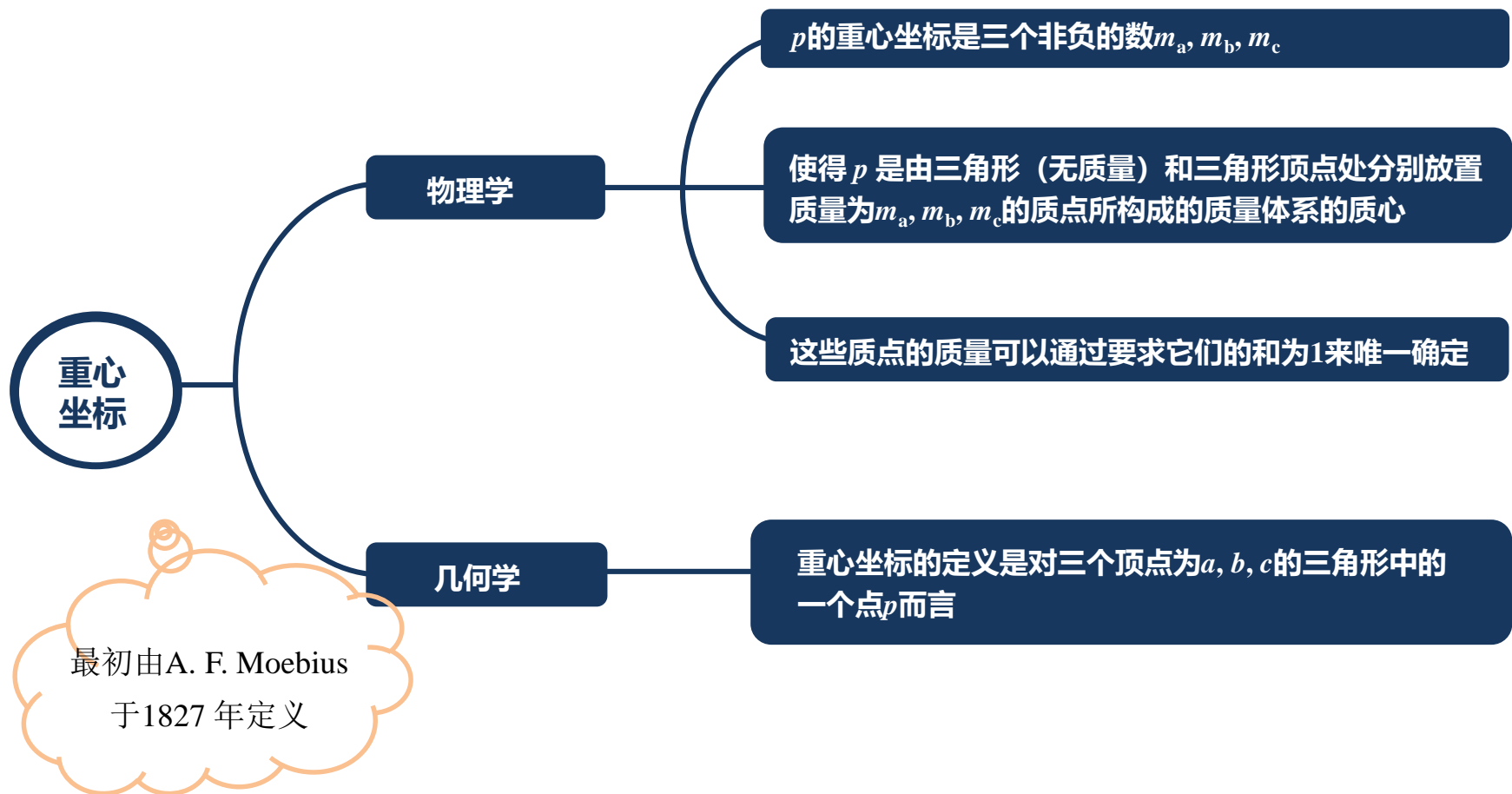
- 对点的齐次形式的增广矩阵做行化简运算, 把最后一行移到第一行后简化运算

$$[\tilde{\mathbf{a}} \ \tilde{\mathbf{b}} \ \tilde{\mathbf{c}} \ \tilde{\mathbf{p}}] = \begin{bmatrix} 1 & 3 & 9 & 5 \\ 7 & 0 & 3 & 3 \\ 1 & 1 & 1 & 1 \end{bmatrix} \sim \begin{bmatrix} 1 & 1 & 1 & 1 \\ 1 & 3 & 9 & 5 \\ 7 & 0 & 3 & 3 \end{bmatrix} \sim \begin{bmatrix} 1 & 0 & 0 & 1/4 \\ 0 & 1 & 0 & 1/3 \\ 0 & 0 & 1 & 5/12 \end{bmatrix}$$

- $\Rightarrow \mathbf{p} = 1/4\mathbf{a} + 1/3\mathbf{b} + 5/12\mathbf{c}$



重心坐标



重心坐标

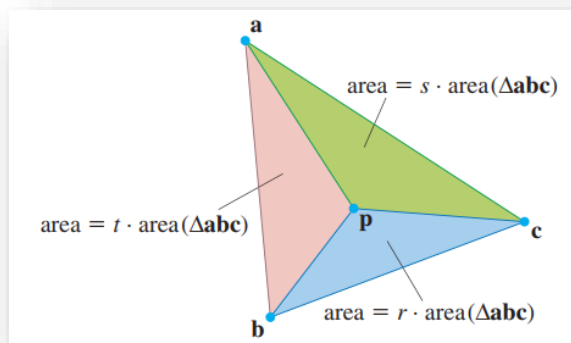


图4 $p = ra + sb + tc$, 其中 $r = \frac{1}{4}$, $s = \frac{1}{3}$, $t = \frac{5}{12}$

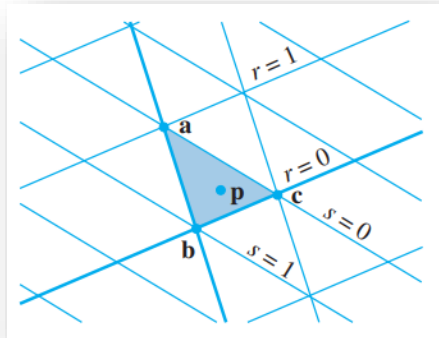


图5 $\text{aff}\{a, b, c\}$ 中点的重心坐标

例4中重心坐标的几何解释:

- 三个小三角形的面积与 p 的重心坐标成正比

$$\text{面积}(\Delta pbc) = \frac{1}{4} \cdot \text{面积}(\Delta abc)$$

$$\text{面积}(\Delta apc) = \frac{1}{3} \cdot \text{面积}(\Delta abc)$$

$$\text{面积}(\Delta abp) = \frac{5}{12} \cdot \text{面积}(\Delta abc)$$

- 当 p 是 \mathbb{R}^3 中一个四面体内的一点且对应的顶点是 a, b, c, d 时, 类似的性质也成立

对顶点 a, b, c 和坐标值 r, s, t , 图5给出了几何解释:

- 穿过 b 和 c 的直线上的点有 $r=0$
- 穿过 a 且平行于上述直线的直线上的点有 $r=1$



计算机图形学中的 重心坐标



计算机图形学中的重心坐标

计算机图形学中的重心坐标

用“线框”逼近对象中的一些关键点来生成和处理对象的图形，例如物体的一部分表面是由一些小三角平面组成的，很容易地对每一个小三角面进行加色、上光及着色

重心坐标提供了一个将顶点信息平滑地插入三角面内部点的工具

内部点的插值是顶点处参数值的一个简单的线性组合，组合的权值为该点的重心坐标

- ✓ 计算机屏幕上的颜色通常由RGB坐标给出。一个三元组 (r, g, b) 表示各颜色(红、绿和蓝)的数量，参数变化范围从0到1。

计算机图形学中的重心坐标

例5: 令 $\mathbf{v}_1 = \begin{pmatrix} 3 \\ 1 \\ 5 \end{pmatrix}$, $\mathbf{v}_2 = \begin{pmatrix} 4 \\ 3 \\ 4 \end{pmatrix}$, $\mathbf{v}_3 = \begin{pmatrix} 1 \\ 5 \\ 1 \end{pmatrix}$, $\mathbf{p} = \begin{pmatrix} 3 \\ 3 \\ 3.5 \end{pmatrix}$, 在一个三角形的顶点 v_1, v_2, v_3

处的颜色分别是品红 (1, 0, 1)、浅品红 (1, 0.4, 1) 和紫色 (0.6, 0, 1)。求出 p 点的插入颜色, 见图6。



图6 插入颜色

解:

- 首先, 求出 p 点的重心坐标, 这里运用点的齐次形式

$$\begin{bmatrix} \tilde{\mathbf{v}}_1 & \tilde{\mathbf{v}}_2 & \tilde{\mathbf{v}}_3 & \tilde{\mathbf{p}} \end{bmatrix} \sim \begin{bmatrix} 1 & 1 & 1 & 1 \\ 3 & 4 & 1 & 3 \\ 1 & 3 & 5 & 3 \\ 5 & 4 & 1 & 3.5 \end{bmatrix} \sim \begin{bmatrix} 1 & 0 & 0 & 0.25 \\ 0 & 1 & 0 & 0.50 \\ 0 & 0 & 1 & 0.25 \\ 0 & 0 & 0 & 0 \end{bmatrix}$$

计算机图形学中的重心坐标

例5:

- $\mathbf{p} = 0.25\mathbf{v}_1 + 0.5\mathbf{v}_2 + 0.25\mathbf{v}_3$
- 运用的 \mathbf{p} 重心坐标对颜色数据进行线性

组合， \mathbf{p} 的 RGB 值是

$$0.25 \begin{bmatrix} 1 \\ 0 \\ 1 \end{bmatrix} + 0.50 \begin{bmatrix} 1 \\ 0.4 \\ 1 \end{bmatrix} + 0.25 \begin{bmatrix} 0.6 \\ 0 \\ 1 \end{bmatrix} = \begin{bmatrix} 0.9 \\ 0.2 \\ 1 \end{bmatrix} \begin{matrix} \text{红} \\ \text{绿} \\ \text{蓝} \end{matrix}$$

- 把图形显示在计算机屏幕上的最后一步是消除“隐藏面”，这些隐藏面都不会在屏幕上看到。

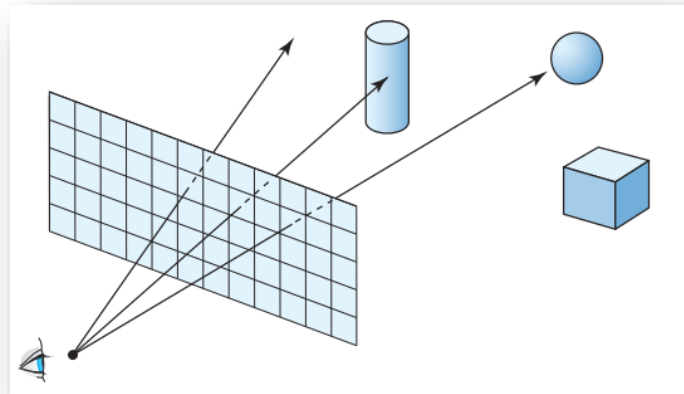


图7 从眼睛通过屏幕到最近物体的射线

- 设想屏幕是由 100 万个像素的点组成
- 当图像中的物体由线框和三角面逼近时，隐藏面问题可运用重心坐标来解决
- 射线-三角形相交的数学方法也可以很好地应用于对物体进行逼真的着色。



计算机图形学中的重心坐标

例6: 令 $\mathbf{v}_1 = \begin{pmatrix} 1 \\ 1 \\ -6 \end{pmatrix}$, $\mathbf{v}_2 = \begin{pmatrix} 8 \\ 1 \\ -4 \end{pmatrix}$, $\mathbf{v}_3 = \begin{pmatrix} 5 \\ 11 \\ -2 \end{pmatrix}$, $\mathbf{a} = \begin{pmatrix} 0 \\ 0 \\ 10 \end{pmatrix}$, $\mathbf{b} = \begin{pmatrix} 0.7 \\ 0.4 \\ -3 \end{pmatrix}$, 并且对 $t \geq 0$ 有 $x(t) = \mathbf{a} + t \mathbf{b}$, 求射线 $x(t)$ 与由三角形三个顶点 $\mathbf{v}_1, \mathbf{v}_2$ 和 \mathbf{v}_3 构成的平面相交的点, 这个点在三角形中吗?

解:

- 平面是 $\text{aff}\{\mathbf{v}_1, \mathbf{v}_2, \mathbf{v}_3\}$, 这个平面中的一个通用点可写为 $(1 - c_2 - c_3) \mathbf{v}_1 + c_2 \mathbf{v}_2 + c_3 \mathbf{v}_3$ (权值和为1)
- 当 c_2, c_3 和 t 满足 $(1 - c_2 - c_3) \mathbf{v}_1 + c_2 \mathbf{v}_2 + c_3 \mathbf{v}_3 = \mathbf{a} + t \mathbf{b}$ 时, 射线 $x(t)$ 与平面相交
- $\Rightarrow c_2 (\mathbf{v}_2 - \mathbf{v}_1) + c_3 (\mathbf{v}_3 - \mathbf{v}_1) + t (-\mathbf{b}) = \mathbf{a} - \mathbf{v}_1$
- 矩阵形式为
$$\begin{pmatrix} \mathbf{v}_2 - \mathbf{v}_1 & \mathbf{v}_3 - \mathbf{v}_1 & -\mathbf{b} \end{pmatrix} \begin{pmatrix} c_2 \\ c_3 \\ t \end{pmatrix} = \mathbf{a} - \mathbf{v}_1$$



计算机图形学中的重心坐标

例6:

- $$\mathbf{v}_2 - \mathbf{v}_1 = \begin{pmatrix} 7 \\ 0 \\ 2 \end{pmatrix}, \mathbf{v}_3 - \mathbf{v}_1 = \begin{pmatrix} 4 \\ 10 \\ 4 \end{pmatrix}, \mathbf{a} - \mathbf{v}_1 = \begin{pmatrix} -1 \\ -1 \\ 16 \end{pmatrix}$$

- 做增广矩阵行化简运算得

$$\begin{pmatrix} 7 & 4 & -0.7 & -1 \\ 0 & 10 & -0.4 & -1 \\ 2 & 4 & 3 & 16 \end{pmatrix} \sim \begin{pmatrix} 1 & 0 & 0 & 0.3 \\ 0 & 1 & 0 & 0.1 \\ 0 & 0 & 1 & 0.5 \end{pmatrix}$$

- 因此 $c_2=0.3$, $c_3=0.1$ 和 $t=5$ 。相交点是

$$\mathbf{x}(5) = \mathbf{a} + 5\mathbf{b} = \begin{pmatrix} 0 \\ 0 \\ 10 \end{pmatrix} + 5 \begin{pmatrix} 0.7 \\ 0.4 \\ -3 \end{pmatrix} = \begin{pmatrix} 3.5 \\ 2.0 \\ -5.0 \end{pmatrix}$$

- 则

$$\begin{aligned} \mathbf{x}(5) &= (1 - 0.3 - 0.1) \mathbf{v}_1 + 0.3 \mathbf{v}_2 + 0.1 \mathbf{v}_3 \\ &= 0.6 \begin{pmatrix} 1 \\ 1 \\ -6 \end{pmatrix} + 0.3 \begin{pmatrix} 8 \\ 1 \\ -4 \end{pmatrix} + 0.1 \begin{pmatrix} 5 \\ 11 \\ -2 \end{pmatrix} = \begin{pmatrix} 3.5 \\ 2.0 \\ -5.0 \end{pmatrix} \end{aligned}$$

- 由于 $\mathbf{x}(5)$ 的重心权值都是正的，所以相交点位于三角形内部。



第八章 The Geometry of Vector Spaces

§ 8.3 Convex Combinations 凸组合

衡益

2022 年 1 月 4 日, 中山大学南校区



8.3 凸组合

凸组合定义

R^n 中点 v_1, v_2, \dots, v_k 的一个凸组合是如下形式的线性组合

$$c_1 v_1 + c_2 v_2 + \dots + c_k v_k$$

对于所有 i , 有 $c_1 + c_2 + \dots + c_k = 1$ 和 $c_i \geq 0$.

一个集合 S 中所有凸组合的集称为 S 的凸包 , 记为 $\text{conv } S$.

注意: 单点 v_1 的凸包是集合 $\{v_1\}$.

凸组合的权值非负, $y = (1-t)v_1 + tv_2, 0 \leq t \leq 1$.表示在点 v_1 和 v_2 之间的
线段, 记为 $\overline{v_1 v_2}$.



8.3 凸组合

例1

$$\text{令 } v_1 = \begin{bmatrix} 3 \\ 0 \\ 6 \\ -3 \end{bmatrix}, v_2 = \begin{bmatrix} -6 \\ 3 \\ 3 \\ 0 \end{bmatrix}, v_3 = \begin{bmatrix} 3 \\ 6 \\ 0 \\ 3 \end{bmatrix}, p_1 = \begin{bmatrix} 0 \\ 3 \\ 3 \\ 0 \end{bmatrix}, p_2 = \begin{bmatrix} -10 \\ 5 \\ 11 \\ -4 \end{bmatrix} \text{ 且 } S = \{v_1, v_2, v_3\}.$$

注意 S 是正交集. 确定 p_1 是否在 $\text{Span } S$, $\text{aff } S$ 及 $\text{conv } S$ 中. 同样考虑 p_2 的情况.

解

若 p_1 至少是 S 中点的线性组合, 则由于 S 是正交集, 很容易求出权值. 令 W 为 S 生成的子空间. 类似于 6.3 节的计算证明了 p_1 在 W 上的正交投影 p_1 是其本身:

$$\begin{aligned} \text{proj}_W p_1 &= \frac{p_1 \cdot v_1}{v_1 \cdot v_1} v_1 + \frac{p_1 \cdot v_2}{v_2 \cdot v_2} v_2 + \frac{p_1 \cdot v_3}{v_3 \cdot v_3} v_3 \\ &= \frac{18}{54} v_1 + \frac{18}{54} v_2 + \frac{18}{54} v_3 \end{aligned}$$

$$= \frac{1}{3} \begin{bmatrix} 3 \\ 0 \\ 6 \\ -3 \end{bmatrix} + \frac{1}{3} \begin{bmatrix} -6 \\ 3 \\ 3 \\ 0 \end{bmatrix} + \frac{1}{3} \begin{bmatrix} 3 \\ 6 \\ 0 \\ 3 \end{bmatrix} = \frac{1}{3} \begin{bmatrix} 0 \\ 3 \\ 3 \\ 0 \end{bmatrix} = p_1$$



8.3 凸组合

由此证明 p_1 在 $\text{Span } S$ 内. 同样由于系数和为 1, 因此 p_1 在 $\text{aff } S$ 内. 进一步, 由于系数是非负的, 故 p_1 在 $\text{conv } S$ 内.

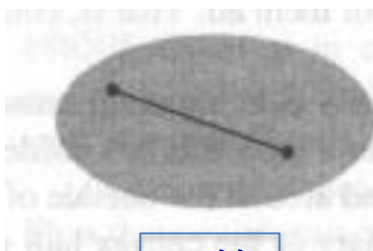
对于 p_2 , 类似的计算证明 $\text{proj}_W p_2 \neq p_2$. 由于 $\text{proj}_W p_2$ 是 $\text{Span } S$ 中到 p_2 最近的点, 所以, 点 p_2 不在 $\text{Span } S$ 中. 特别地, p_2 不可能在 $\text{aff } S$ 内或 $\text{conv } S$ 内. ■

8.3 凸组合

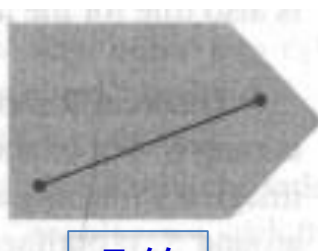
回顾：集合 S 是仿射的，若 S 内任意两点确定的直线都在 S 中。

凸集定义

集合 S 是凸的，若对于每一个 $p, q \in S$ ，线段 \overline{pq} 在 S 中。



凸的



凸的



不是凸的

若集合 S 中的每两点可以相互“看见”，且视线不越出该集合，那么集合 S 是凸的。



8.3 凸组合

定理7

集合 S 是凸集当且仅当 S 中的点的凸组合在 S 中，即 S 是凸集当且仅当 $S = \text{conv } S$ 。

证明：数学归纳法

假设 S 是凸集，并对凸组合中 S 的点的数目 m 使用归纳法。

当 m 是1或2时，由凸组合的定义， S 中 m 个点的凸组合属于 S 。

假设 S 中 k 个点或少于 k 个点的每一个凸组合属于 S ，考虑 $k+1$ 个点的组合。

令 $y = c_1 v_1 + c_2 v_2 + \dots + c_k v_k + c_{k+1} v_{k+1}$ ， $c_1 + \dots + c_k + c_{k+1} = 1$ ， $0 \leq c_i \leq 1$ ，若 $c_{k+1} = 1$ ，

则 $y = v_{k+1}$ 属于 S 。若 $c_{k+1} < 1$ ，令 $t = c_1 + \dots + c_k$ ，则 $t = 1 - c_{k+1} > 0$ 且

$$y = (1 - c_{k+1}) \left(\frac{c_1}{t} v_1 + \dots + \frac{c_k}{t} v_k \right) + c_{k+1} v_{k+1}$$

由归纳假设，点 $z = \left(\frac{c_1}{t} v_1 + \dots + \frac{c_k}{t} v_k \right)$ 在 S 内，这是由于非负系数和为1。

则上式表明 y 为 S 内两点的凸集合。即 S 内的点的每个凸集合在 S 内。



8.3 凸组合

定理8

设 $\{S_\alpha : \alpha \in A\}$ 是任意组凸集，则 $\bigcap_{\alpha \in A} S_\alpha$ 是凸集。若 $\{T_\beta : \beta \in B\}$ 是任意一组仿射集，则 $\bigcap_{\beta \in B} S_\beta$ 是仿射集。

证明：

若 $p, q \in \bigcap S_a$ ，则 p, q 在每一个 S_a 中。由于每一个 S_a 是凸集，因此对所有 α ，连接 p, q 的线段在 S_a 中，从而线段属于 $\bigcap S_a$ 中。

对于仿射集的证明与此类似。



8.3 凸组合

定理9

对任何集合 S ， S 的凸包是所有包含 S 的凸集的交集。

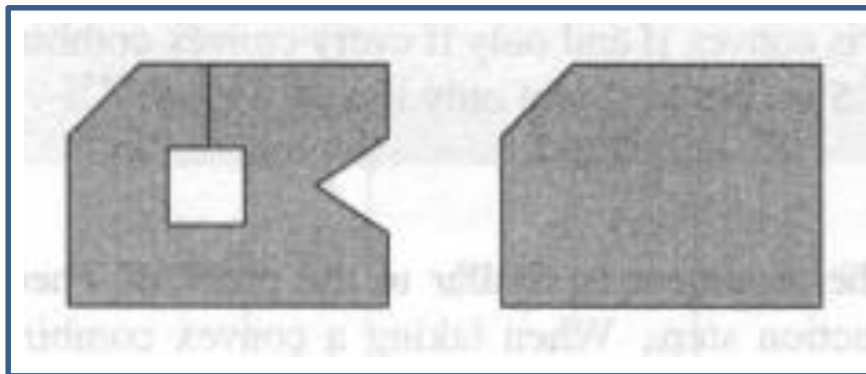
证明：

令 T 为包含 S 的所有凸集的交集。由于 $\text{conv } S$ 是包含 S 的一个凸集。故 $T \subset \text{conv } S$ 。另一方面，令 C 是包含 S 的任意一个凸集，则 C 包含 C 中所有点构成的凸集合，因此也包含子集 S 中所有点构成的凸集合，即 $\text{conv } S \subset C$ ，由于对包含 S 的每个凸集 C 都成立，故对所有包含 S 的凸集的交集同样成立，即 $\text{conv } S \subset T$ 。

8.3 凸组合

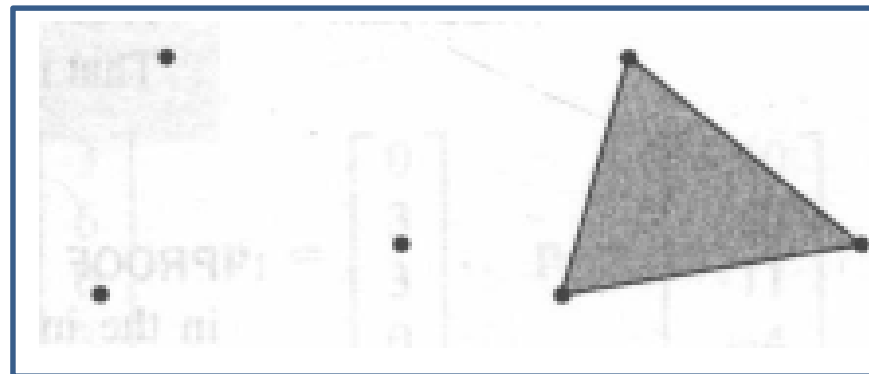
例2

a. R^2 中集合 S , T 的凸包如下图所示。



S

conv S



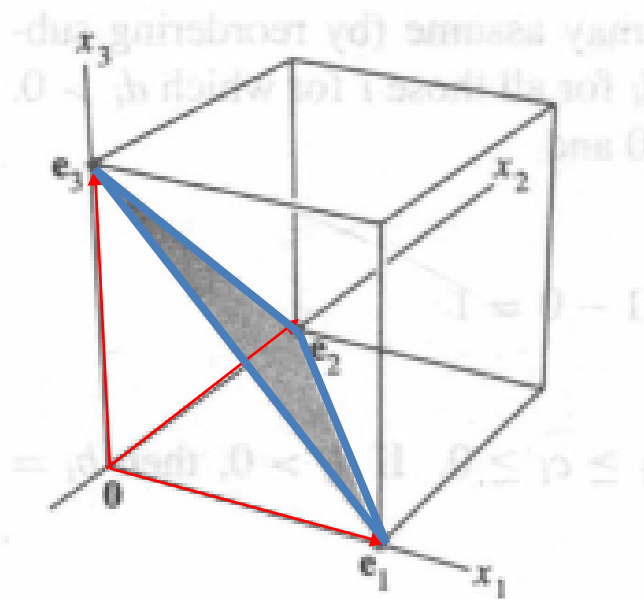
T

conv T

8.3 凸组合

例2

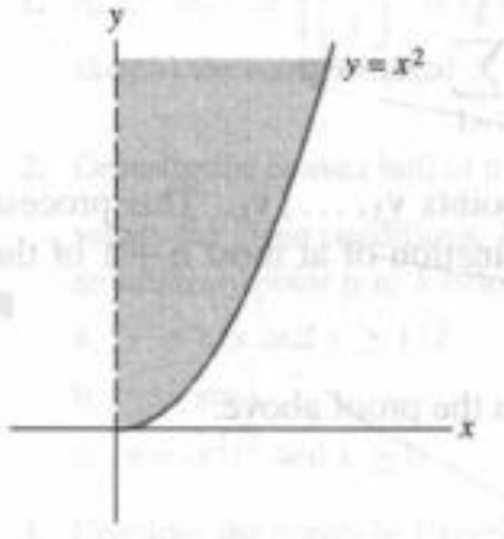
b. 令 S 是三维空间 \mathbf{R}^3 的标准基构成的集合, $S = \{e_1, e_2, e_3\}$. 则 $\text{conv } S$ 是 \mathbf{R}^3 中顶点为 e_1, e_2, e_3 的一个三角面, 见下图。



8.3 凸组合

例3

令 $S = \left\{ \begin{bmatrix} x \\ y \end{bmatrix} : x \geq 0, y = x^2 \right\}$, 证明 S 的凸包是原点和 $\left\{ \begin{bmatrix} x \\ y \end{bmatrix} : x > 0, y \geq x^2 \right\}$ 的并集, 如下图所示。



证明: 考虑阴影部分的任意点 p , 令 $p = \begin{bmatrix} a \\ b \end{bmatrix}$, $a > 0$ 且 $b \geq a^2$.

经过 0 与 p 的直线满足方程 $y = \left(\frac{b}{a}\right)t$, t 为实数。直线与 S 的交点满足

$\left(\frac{b}{a}\right)t = t^2$, 即 $t = b/a$ 。因此 p 在连接 0 与 $\begin{bmatrix} b/a \\ b^2/a^2 \end{bmatrix}$ 的线段上。



8.3 凸组合

定理10

(Caratheodory) 若 S 是 R^n 中一非空子集, 则 S 的凸包中的每一点可以由 S 中 $n+1$ 个或更少的点的凸组合表示。

证明: 假设 p 在 S 的凸包中, 则 $p=c_1v_1+\dots+c_kv_k$, 其中 $v_i \in S$, $c_1+\dots+c_k=1$, 且 $c_i \geq 0$, $i=1,2,\dots,k$. 目的是为了证明 p 存在这样的表达式且 $k \leq n+1$.

若 $k > n+1$, 则 $\{v_1, \dots, v_k\}$ 是仿射相关, 因此存在不全为0的标量 d_1, \dots, d_k , 使得

$$\sum_{i=1}^k d_i v_i = 0 \text{ 且 } \sum_{i=1}^k d_i = 0$$

考虑如下两个方程:

$$c_1 v_1 + \dots + c_k v_k = p \quad (1)$$

$$d_1 v_1 + \dots + d_k v_k = 0 \quad (2)$$

消去 v_i , 得到 S 的少于 k 个点构成的凸组合, 该凸组合等于 p 。



8.3 凸组合

定理10

假设 $d_k > 0$ 且对 $d_i > 0$ 的所有 i 有 $\frac{c_k}{d_k} \leq \frac{c_i}{d_i}$. 对 $i = 1, \dots, k$, 令 $b_i = c_i - \frac{c_k}{d_k} d_i$. 则 $b_k = 0$ 且

$$\sum_{i=1}^k b_i = \sum_{i=1}^k c_i - \frac{c_k}{d_k} \sum_{i=1}^k d_i = 1 - 0 = 1$$

进一步, 每一个 $b_i \geq 0$. 事实上, 若 $d_i \leq 0$, 则 $b_i \geq c_i \geq 0$. 若 $d_i > 0$, 则 $b_i = d_i \left(\frac{c_i}{d_i} - \frac{c_k}{d_k} \right) \geq 0$

$$\text{得 } \sum_{i=1}^{k-1} b_i v_i = \sum_{i=1}^k b_i v_i = \sum_{i=1}^k \left(c_i - \frac{c_k}{d_k} d_i \right) v_i = \sum_{i=1}^k c_i v_i - \frac{c_k}{d_k} \sum_{i=1}^k d_i v_i = \sum_{i=1}^k c_i v_i = p$$

因此 p 是 $k-1$ 个点 v_1, \dots, v_{k-1} 的凸组合.

重复以上步骤到 p 是由 S 中 $n+1$ 个点构成的凸组合。



8.3 凸组合

例4

$$\text{令 } v_1 = \begin{bmatrix} 1 \\ 0 \end{bmatrix}, v_2 = \begin{bmatrix} 2 \\ 3 \end{bmatrix}, v_3 = \begin{bmatrix} 5 \\ 4 \end{bmatrix}, v_4 = \begin{bmatrix} 3 \\ 0 \end{bmatrix}, p = \begin{bmatrix} \frac{10}{3} \\ \frac{5}{2} \end{bmatrix}, \text{且 } S = \{v_1, v_2, v_3, v_4\}. \text{ 则 } \frac{1}{4}v_1 + \frac{1}{6}v_2 + \frac{1}{2}v_3 + \frac{1}{12}v_4 = p \quad (2).$$

使用 *caratheodory* 定理的证明过程把 p 表示为 S 中三个点构成的凸组合。

解：集合 S 是仿射相关的。

使用 8.2 节中的方法得到一个仿射相关的关系式 $-5v_1 + 4v_2 - 3v_3 + 4v_4 = 0 \quad (3)$

选择 (3) 式中的点 v_2, v_4 ，它们的系数为正。对上述每个点，计算方程 (2) 与 (3) 中系数的比例。

v_2 的系数比为 $\frac{1}{6} \div 4 = \frac{1}{24}$ ，而 v_4 的为 $\frac{1}{12} \div 4 = \frac{1}{48}$ 。 v_4 的比更小，因此从方程 (2) 减去方程 (3) 的 $\frac{1}{48}$ 来消去 v_4 ：

$$\left(\frac{1}{4} + \frac{5}{48}\right)v_1 + \left(\frac{1}{6} - \frac{4}{48}\right)v_2 + \left(\frac{1}{2} + \frac{3}{48}\right)v_3 + \left(\frac{1}{12} - \frac{4}{48}\right)v_4 = p$$

$$\frac{17}{48}v_1 + \frac{4}{48}v_2 + \frac{27}{48}v_3 = p$$



第八章 The Geometry of Vector Spaces

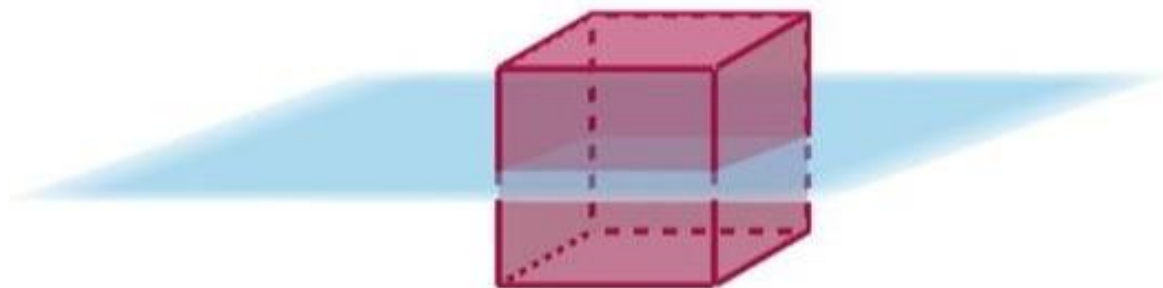
§ 8.4 Hyperplanes 超平面

衡益

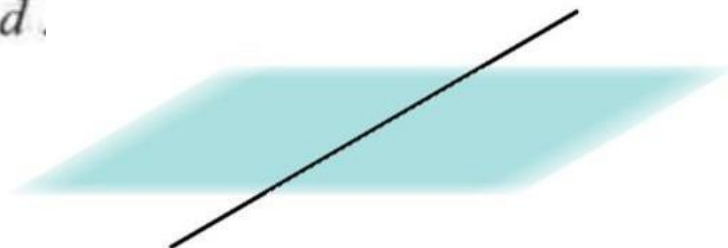
2022 年 1 月 4 日, 中山大学南校区

8.4 超平面

超平面在 \mathbb{R}^n 空间中的作用将空间分为两个不相交的部分，
例如一个平面把 \mathbb{R}^3 分成两部分以及一条直线切开 \mathbb{R}^2 。



\mathbb{R}^3 中平面的隐式方程为 $ax + by + cz = d$ 。



\mathbb{R}^2 中直线的隐式方程为 $ax + by = d$



8.4 超平面

定义

R^n 上的一个线性函数是从 R^n 到 R 的一个线性变换 f . 对 R 中的每一个标量 d , 符号 $[f:d]$ 表示 R^n 中使得 f 的值为 d 的所有 x 的集合, 即

$$[f:d] \text{ 是集合 } \{x \in R^n : f(x) = d\}$$

零函数是对 R^n 中所有点 x 都有 $f(x) = 0$ 的线性函数. R^n 上所有其他的线性函数都称为非零函数.



8.4 超平面

例1 在 \mathbb{R}^2 中, 直线 $x-4y=13$ 是 \mathbb{R}^2 中的超平面, 它是所有使得线性函数 $f(x,y)=x-4y$ 的值等于 13 的点组成的集合, 即直线是集合 $[f:13]$.

例2 在 \mathbb{R}^3 中, 平面 $5x-2y+3z=21$ 是 \mathbb{R}^3 中的一个超平面, 它是所有使得线性函数 $g(x,y,z)=5x-2y+3z$ 的值等于 21 的点组成的集合, 即超平面是集合 $[g:21]$.

若 f 是 \mathbb{R}^n 上的线性函数, 那么这个线性变换 f 的标准矩阵是一个 $1 \times n$ 矩阵 A . 令 $A=[a_1 \ a_2 \ \cdots \ a_n]$, 则

$$[f:0] \text{ 等同于 } \{\mathbf{x} \in \mathbb{R}^n : A\mathbf{x} = 0\} = \text{Nul } A \quad (1)$$

若 f 是非零函数, 则由秩定理^①, A 的秩为 1, $\dim \text{Nul } A = n-1$, 因此子空间 $[f:0]$ 是 $n-1$ 维的, 从而是一个超平面. 同时, 若 d 是 \mathbb{R} 中任意数, 则

$$[f:d] \text{ 等同于 } \{\mathbf{x} \in \mathbb{R}^n : A\mathbf{x} = d\} \quad (2)$$



8.4 超平面

若 f 是 R^n 上的线性函数，则该线性变换 f 的标准矩阵是一个 $1 \times n$ 矩阵 A ，令 $A = [a_1 \ a_2 \ \dots \ a_n]$ ，则

$$[f : 0] \text{ 等同于 } \{x \in R^n : Ax = 0\} = \text{Nul } A$$

若 f 是非零函数， A 的秩为1, $\dim \text{Nul } A = n - 1$ ，子空间 $[f : 0]$ 是 $n - 1$ 维的，



从而是一个超平面

若 d 是 R 中任意数，则

$$[f : d] \text{ 等同于 } \{x \in R^n : Ax = d\}$$

8.4 超平面

回顾

设方程 $Ax=b$ 对某个 b 是相容的, p 为一个特解, 则 $Ax=b$ 的解集是所有形如 $w=p+v_h$ 的向量的集, 其中 v_h 是齐次方程 $Ax=0$ 的任意一个解.

$Ax=d$ 的解集是将 $Ax=0$ 的解集沿 $Ax=b$ 的一特解 p 平移得到的. 当 A 为变换矩阵 f 的标准矩阵时, 定理表明:

$$[f:d]=[f:0]+p, \text{ 对 } [f:d] \text{ 中的任意 } p$$



故集合 $[f:d]$ 是平行于 $[f:0]$ 的超平面.

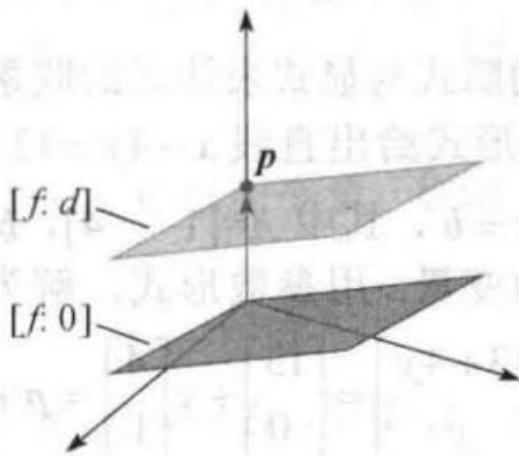


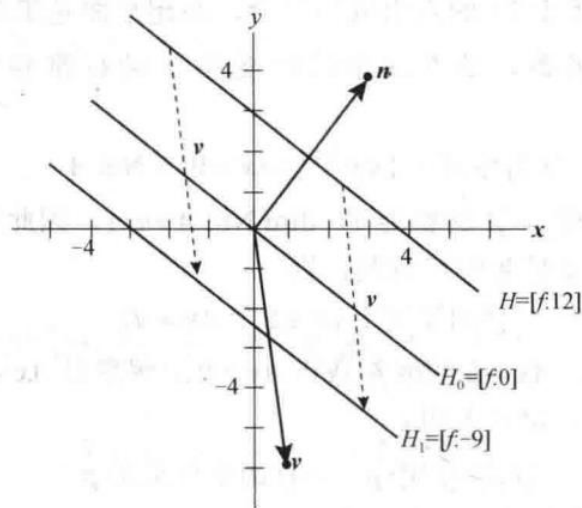
图 8-17 平行超平面, $f(p)=d$

8.4 超平面

例3

令 $n = \begin{bmatrix} 3 \\ 4 \end{bmatrix}$, $v = \begin{bmatrix} 1 \\ -6 \end{bmatrix}$, $H = \{x : n \cdot x = 12\}$, 从而 $H = [f : 12]$, 其中 $f(x, y) = 3x + 4y$. 故 H 为直线 $3x + 4y = 12$. 求平行的超平面(直线) $H_1 = H + v$ 的隐式表达式.

解 首先, 求出 H_1 中的一点 p . 取 H 中一点, 把它加上 v . 例如 H 中点 $\begin{bmatrix} 0 \\ 3 \end{bmatrix}$, 故 $p = \begin{bmatrix} 1 \\ -6 \end{bmatrix} + \begin{bmatrix} 0 \\ 3 \end{bmatrix} = \begin{bmatrix} 1 \\ -3 \end{bmatrix}$ 在 H_1 中. 现在计算 $n \cdot p = -9$, 这表明 $H_1 = [f : -9]$, 见图 8-18, 该图也表明子空间 $H_0 = \{x : n \cdot x = 0\}$.





8.3 凸组合

定理11

R^n 中的子集 H 是超平面当且仅当 $H = [f : d]$, f 为某个非零线性函数, d 为 R 中某个数. 因而若 H 是超平面, 则存在非零向量 n 与实数 d , 使得 $H = \{x : n \cdot x = d\}$.

证

假定 H 是超平面, 取 $p \in H$, 且令 $H_0 = H - p$. 则 H_0 是一个 $n-1$ 维的子空间. 接下来取 $y \notin H_0$, 由 6.3 节中的正交分解定理,

$$y = y_1 + n$$

其中 y_1 是 H_0 中一个向量, n 与 H_0 中每个向量正交. 函数 f 定义为

$$f(x) = n \cdot x, \quad x \in \mathbb{R}^n$$

由内积性质可知, 这是一个线性函数. 由 n 的含义可知, $[f:0]$ 是包含 H_0 的超平面. 从而

$$H_0 = [f : 0]$$



8.3 凸组合

补充

\mathbb{R}^n 中的拓扑：术语与事实

对 \mathbb{R}^n 中任意点 p 及任意实数 $\delta > 0$ ，以 p 为心 δ 为半径的开球 $B(p, \delta)$ 表示为

$$B(p, \delta) = \{x : \|x - p\| < \delta\}$$

设 S 为 \mathbb{R}^n 中的集合，点 p 为 S 的内点，若存在 $\delta > 0$ ，使得 $B(p, \delta) \subset S$ 。若以 p 为心的每个开球既与 S 相交又与 S 的补集相交，则 p 称为 S 的边界点。若集合不包含边界点，则集合称为开集。（这等价于说 S 中的所有点都为 S 的内点。）若集合包含所有边界点，则称它为闭集。（若 S 包含部分但不是所有边界点，则 S 既非开集也非闭集。）若存在 $\delta > 0$ 使得 $S \subset B(0, \delta)$ ，则集合 S 称为有界的。若 \mathbb{R}^n 中的集合既是闭的又是有界的，则称为紧致的。

定理 开集的凸包是开集，紧致集的凸包是紧致的。（闭集的凸包不一定是闭的，见习题 27.）

8.4 超平面

例4

令 $S = \text{conv} \left\{ \begin{bmatrix} -2 \\ 2 \end{bmatrix}, \begin{bmatrix} -2 \\ -2 \end{bmatrix}, \begin{bmatrix} 2 \\ -2 \end{bmatrix}, \begin{bmatrix} 2 \\ 2 \end{bmatrix} \right\}$, $p_1 = \begin{bmatrix} -1 \\ 0 \end{bmatrix}$, 及 $p_2 = \begin{bmatrix} 2 \\ 1 \end{bmatrix}$, 如图所示. 则 p_1 是内点,

这是由于 $B\left(p, \frac{3}{4}\right) \subset S$. 点 p_2 是边界点, 这是由于以 p_2 为心的每一开球与 S 和 S 的

补集都相交. 由于 S 包含所有边界点, 故 S 是闭集. 由于 $S \subset B(0, 3)$, 所以集合 S 是有界的. 因此 S 也是紧致的.

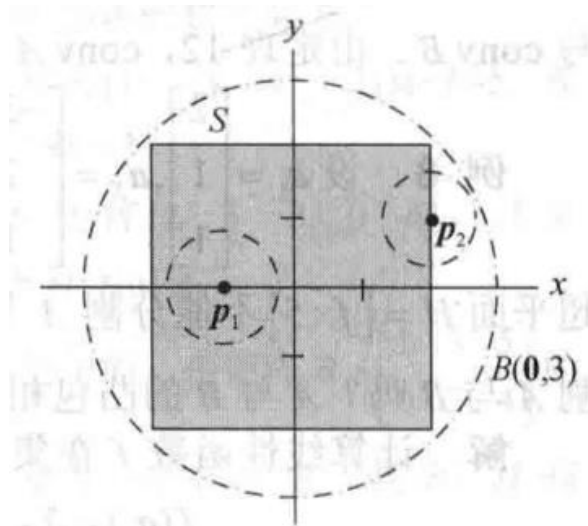


图 8-19 集合 S 是闭的和有界的



8.4 超平面

定义

超平面 $H = [f : d]$ 若满足下列条件之一：

(i) $f(A) \leq d$ 且 $f(B) \geq d$

(ii) $f(A) \geq d$ 且 $f(B) \leq d$

则该超平面被分割成两个集合 A 与 B . 若在以上条件中, 所有的弱不等式变为严格不等式, 则称 H 严格分割集合 A 与 B .

定理12

设 A 与 B 是非空凸集, 且 A 是紧致的, B 是闭的. 那么存在超平面 H 严格分割 A 与 B , 当且仅当 $A \cap B = \emptyset$



8.3 凸组合

定理13

设 A 与 B 是非空紧致集. 那么存在超平面严格分割 A 与 B , 当且仅当 $(\text{conv } A) \cap (\text{conv } B) = \emptyset$.

证

设 $(\text{conv } A) \cap (\text{conv } B) = \emptyset$. 由于紧致集的凸包是紧致的, 故定理 12 保证了存在超平面 H 严格分割 $\text{conv } A$ 与 $\text{conv } B$. 显然, H 严格分割更小的集合 A 与 B .

反之, 假定超平面 $H = [f:d]$ 严格分割 A 与 B . 不失一般性, 设 $f(A) < d$ 且 $f(B) > d$, 令 $\mathbf{x} = c_1 \mathbf{x}_1 + \cdots + c_k \mathbf{x}_k$ 是 A 元素的任一凸组合, 则

$$f(\mathbf{x}) = c_1 f(\mathbf{x}_1) + \cdots + c_k f(\mathbf{x}_k) < c_1 d + \cdots + c_k d = d$$

这是由于 $c_1 + \cdots + c_k = 1$. 从而 $f(\text{conv } A) < d$. 同样 $f(\text{conv } B) > d$, 故 $H = [f:d]$ 严格分割 $\text{conv } A$ 与 $\text{conv } B$. 由定理 12, $\text{conv } A$ 与 $\text{conv } B$ 是不相交的. ■



8.4 超平面

例5

设 $a_1 = \begin{bmatrix} 2 \\ 1 \\ 1 \end{bmatrix}$, $a_2 = \begin{bmatrix} -3 \\ 2 \\ 1 \end{bmatrix}$, $a_3 = \begin{bmatrix} 3 \\ 4 \\ 0 \end{bmatrix}$, $b_1 = \begin{bmatrix} 1 \\ 0 \\ 2 \end{bmatrix}$, $b_2 = \begin{bmatrix} 2 \\ -1 \\ 5 \end{bmatrix}$, 且设 $A = \{a_1, a_2, a_3\}$, $B = \{b_1, b_2\}$.

证明超平面 $H = [f : 5]$ 不能分割 A 与 B , 其中 $f(x_1, x_2, x_3) = 2x_1 - 3x_2 + x_3$. 存在平行于 H 的超平面分割 A 与 B 吗? A 与 B 的凸包相交吗?

解 计算线性函数 f 在集合 A 与 B 中每点的值:

$$f(a_1) = 2, \quad f(a_2) = -11, \quad f(a_3) = -6, \quad f(b_1) = 4, \quad f(b_2) = 12$$

由于 $f(b_1) = 4$ 比 5 小, $f(b_2) = 12$ 比 5 大, 故 B 中的点位于集合 $H = [f : 5]$ 的两侧, 从而 H 不分割 A 与 B .

由于 $f(A) < 3$ 且 $f(B) > 3$, 故平行超平面 $[f : 3]$ 严格分割 A 与 B . 由定理 13, $(\text{conv } A) \cap (\text{conv } B) = \emptyset$.

注: 若不存在平行于 H 的超平面严格分割 A 与 B , 这并非蕴涵它们的凸包相交, 可能存在不平行于 H 的超平面严格分割 A 与 B .



8.4 超平面

例5

设 $a_1 = \begin{bmatrix} 2 \\ 1 \\ 1 \end{bmatrix}$, $a_2 = \begin{bmatrix} -3 \\ 2 \\ 1 \end{bmatrix}$, $a_3 = \begin{bmatrix} 3 \\ 4 \\ 0 \end{bmatrix}$, $b_1 = \begin{bmatrix} 1 \\ 0 \\ 2 \end{bmatrix}$, $b_2 = \begin{bmatrix} 2 \\ -1 \\ 5 \end{bmatrix}$, 且设 $A = \{a_1, a_2, a_3\}$, $B = \{b_1, b_2\}$.

证明超平面 $H = [f : 5]$ 不能分割 A 与 B , 其中 $f(x_1, x_2, x_3) = 2x_1 - 3x_2 + x_3$. 存在平行于 H 的超平面分割 A 与 B 吗? A 与 B 的凸包相交吗?

解 计算线性函数 f 在集合 A 与 B 中每点的值:

$$f(a_1) = 2, \quad f(a_2) = -11, \quad f(a_3) = -6, \quad f(b_1) = 4, \quad f(b_2) = 12$$

由于 $f(b_1) = 4$ 比 5 小, $f(b_2) = 12$ 比 5 大, 故 B 中的点位于集合 $H = [f : 5]$ 的两侧, 从而 H 不分割 A 与 B .

由于 $f(A) < 3$ 且 $f(B) > 3$, 故平行超平面 $[f : 3]$ 严格分割 A 与 B . 由定理 13, $(\text{conv } A) \cap (\text{conv } B) = \emptyset$.

注: 若不存在平行于 H 的超平面严格分割 A 与 B , 这并非蕴涵它们的凸包相交, 可能存在不平行于 H 的超平面严格分割 A 与 B .



Q & A